Traducción al español del artículo publicado en inglés. No es una edición aprobada por la revista.

Cambio de paradigma en astronomía: cuestionamiento del Big Bang mediante fenómenos interuniversales que esclarecen los complejos mecanismos que rigen la dinámica solar

Yarel A*

Departamento de Astronomía y Física Espacial, Alien-Science Association of Astronomy Org.il, Israel

Artículo de investigación · Volumen 2, número 2
Recibido: 09 de septiembre de 2024 · Publicado: 19 de septiembre de 2024
DOI: 10.23880/oaja-16000130
Autor de correspondencia: Alon Yarel, Alien-Science Association of Astronomy Org.il, Department of Astronomy & Space Physics, Aliyat Hanoar 9, Kiryat Shmona, P.O. 6289, Zipcode: 1152609, Israel
info@alienastronomy.com · alonyarel@alienastronomy.com
www.alienastronomy.com/home

Resumen

Contexto: La teoría del Big Bang ha constituido una piedra angular de la astronomía y la astrofísica modernas, al proporcionar un modelo integral del origen y la expansión del universo. Fundamentado en la teoría de la relatividad general de Einstein, el Big Bang postula un universo que se expande desde una singularidad, con respaldo en las proporciones observadas de elementos primordiales, como helio, hidrógeno y litio, que concuerdan con las predicciones de la termodinámica y la física de partículas.

Objetivos: Nuestra investigación ofrece una perspectiva alternativa sobre la creación del universo y propone un origen diferente que cuestiona el modelo predominante del Big Bang. Esta investigación, centrada inicialmente en los orígenes del universo, condujo a descubrimientos inesperados sobre fenómenos del sistema solar.

Métodos: Mediante un estudio exhaustivo del Sol, descubrimos que está sujeto a intrincadas interacciones físicas e influencias interuniversales, lo que revela una influencia mutua entre universos.

Resultados: Nuestros hallazgos, en este primer estudio de su tipo, no solo proponen una nueva comprensión del origen del universo, sino que también esclarecen los complejos mecanismos que rigen la dinámica solar.

Conclusiones: Este doble logro abre nuevas vías para explorar la cosmología y la física estelar, y presenta un cambio de paradigma en nuestra comprensión del cosmos.

Palabras clave: Cosmología; Dinámica solar; Fenómenos interuniversales; Big Bang

 Copyright © Yarel A

Abreviaturas

JWST: telescopio espacial James Webb; GRACE: experimento de recuperación de la gravedad y del clima; NIRCam: cámara del infrarrojo cercano; PMS: estrellas de presecuencia principal.

Introducción

Introducción al cambio de paradigma en cosmología

La teoría del Big Bang ha sido el modelo cosmológico dominante para comprender el origen del universo, respaldado por abundantes indicios empíricos, entre ellos la radiación cósmica de fondo de microondas, la ley de Hubble de la expansión cósmica y la abundancia de elementos ligeros. Los principales estudios fundamentados en la teoría de la relatividad general de Einstein han afianzado aún más la posición del modelo en la cosmología moderna [1]. Las investigaciones de físicos como Friedmann y Lemaître ampliaron estas ideas y propusieron un universo que se expande desde una singularidad.

Sin embargo, descubrimientos recientes, entre ellos la tensión de Hubble, los misterios no resueltos de la materia oscura y la energía oscura, y la naturaleza de las singularidades, han llevado a algunos a cuestionar la integridad del Big Bang. Modelos cosmológicos recientes, como los propuestos por Penrose R [2] con su teoría del universo cíclico, han buscado explicaciones alternativas para la creación del universo; no obstante, ninguno ha proporcionado un mecanismo completamente nuevo tan audaz como el sugerido en este estudio: la máquina interuniversal.

Descripción general

Presentamos un descubrimiento trascendental: un sistema novedoso, un mecanismo autónomo extraordinariamente complejo, desconocido hasta ahora, al que denominamos «máquina interuniversal». Este enigmático dispositivo no solo activa todo nuestro sistema solar, sino que también revela conocimientos profundos sobre la génesis y el funcionamiento del universo. La búsqueda de esta máquina interuniversal exigió formular numerosas hipótesis fundamentales, aunque todavía no verificadas, y ampliar los límites de la cognición humana y de la investigación científica. Solo mediante este proceso riguroso pudimos finalmente identificar y fundamentar la existencia de este fenómeno. Dado el carácter sin precedentes de esta investigación, carece de fuentes previas que la sustenten, lo que marca un capítulo completamente nuevo en los anales de la astrofísica. Nuestra metodología exigió reexaminar exhaustivamente los principios fundamentales de la astronomía y la astrofísica, por lo que recurrimos a observaciones primarias, pruebas fotográficas y razonamiento deductivo para inferir la presencia y los vestigios de esta extraordinaria máquina. Nuestro objetivo final era rastrear los orígenes del universo, una búsqueda que nos condujo al descubrimiento de la máquina interuniversal. Este estudio prepara el camino para un cambio profundo en nuestra comprensión de la evolución cósmica y de los mecanismos subyacentes que la rigen. **Descubrimiento y pruebas:** En este estudio pionero presentamos pruebas definitivas de la existencia de un sistema extraordinariamente complejo al que denominamos «máquina interuniversal». Este descubrimiento se fundamenta en el análisis de datos sobre la inclinación terrestre y las variaciones estacionales de la gravedad, medidos meticulosamente por la misión GRACE (Gravity Recovery and Climate Experiment) de la NASA [3]. Nuestra investigación marca un cambio de paradigma significativo al revelar un mecanismo autónomo que no solo influye en nuestro sistema solar, sino que también aporta conocimientos sin precedentes sobre la creación y el funcionamiento del universo. El camino hacia el descubrimiento de esta máquina interuniversal exigió desarrollar hipótesis novedosas que cuestionaran los límites del conocimiento humano y de la exploración científica. Mediante análisis rigurosos y metodologías innovadoras, hemos validado satisfactoriamente la existencia de este enigmático sistema. **Descripción de la máquina interuniversal:** Este estudio revela una representación detallada de la máquina interuniversal y muestra todos sus componentes que impulsan el sistema solar completo. Afirmamos que este sofisticado sistema no solo activa el Sol, sino que también impulsa la rotación axial de los planetas, influye en sus inclinaciones y gobierna sus órbitas alrededor del Sol. Nuestra hipótesis pone de relieve la complejidad de este mecanismo autónomo, que coordina con precisión la actividad solar y la dinámica planetaria. La máquina interuniversal desempeña un papel fundamental en el mantenimiento del equilibrio y el orden de nuestro sistema solar, impulsando procesos que antes no se comprendían bien. Mediante análisis y visualizaciones meticulosos, aportaremos pruebas sólidas de la existencia y el funcionamiento de este sistema. De estos supuestos fundamentales surge una máquina interuniversal concebida para crear y generar energía solar.

Copyright © Yarel A

Hipótesis y supuestos

La búsqueda de esta máquina interuniversal exigió formular numerosas hipótesis fundamentales, aunque todavía no verificadas, y ampliar los límites de la cognición humana y de la investigación científica. Durante la construcción de la cadena de acontecimientos se validaron estos dos supuestos fundamentales, mientras que decenas de otras hipótesis resultaron incorrectas. **Supuestos fundamentales:** Nuestra investigación se basa en dos supuestos fundamentales: una estrella en colapso, cuya masa es absorbida por un agujero negro, sale y llega a otro universo. Este proceso implica una importante distorsión temporal entre ambos universos. En el universo donde la estrella colapsa, el acontecimiento transcurre en dos días, mientras que en el universo al que llega la masa de la estrella transcurren millones de años. Debido a la enorme distorsión temporal entre universos, la masa que entra en el agujero negro emerge como polvo estelar. **Evaluaciones adicionales basadas en observaciones recientes:** El análisis de imágenes de simulación del agujero negro v404 Cygni indica que la masa de una estrella en colapso entra en el agujero negro de forma rotatoria. Sobre esta premisa y el supuesto de que la masa se transforma en polvo estelar al entrar en otro universo, puede inferirse que el polvo estelar sale del agujero negro siguiendo un patrón rotatorio en ese universo. El agujero negro v404 Cygni presenta emisiones dobles de gas en direcciones opuestas, similares al fenómeno de la «lluvia ardiente en bucles sobre el Sol», lo que sugiere la salida de polvo estelar del agujero negro en dos direcciones opuestas. Al ampliar las observaciones recientes, nuestras evaluaciones adicionales sugieren que el polvo estelar emerge del agujero negro con un patrón helicoidal y forma dos bobinas que se extienden en direcciones opuestas.

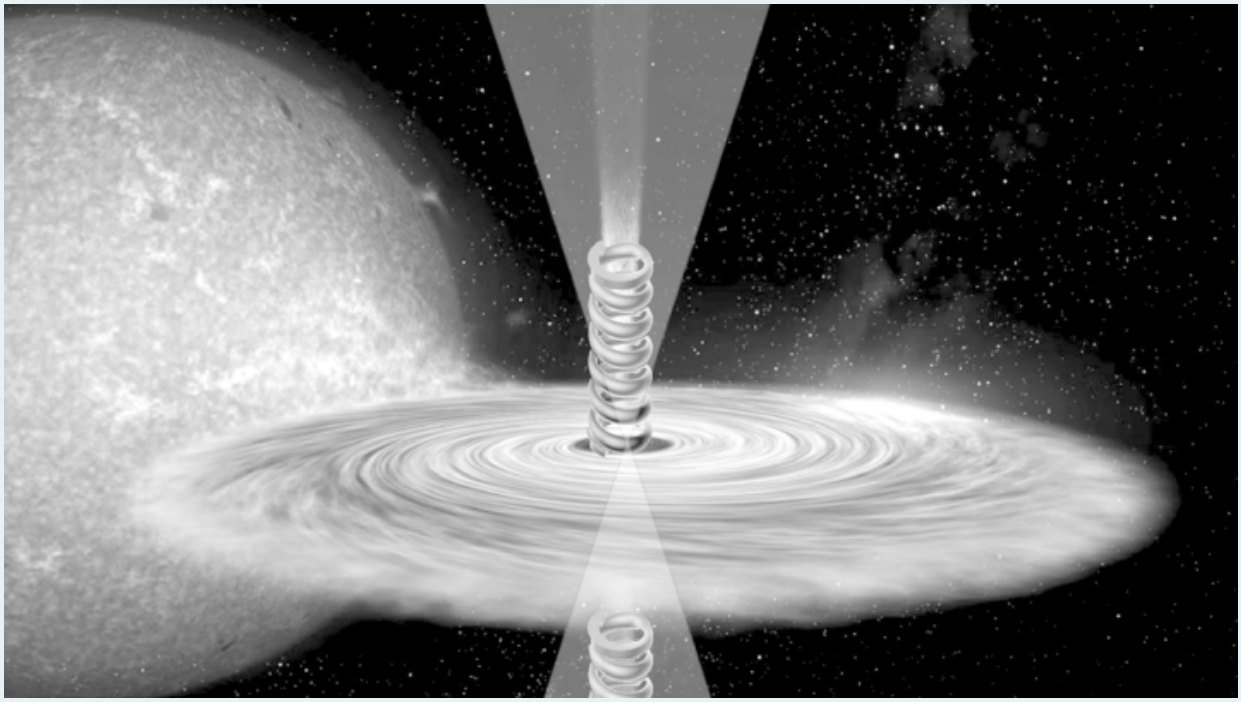


Figura 1: Ilustración: el polvo estelar sale en espiral de un agujero negro en dos direcciones opuestas.

Se conserva la ilustración científica original; su pie de figura está traducido a continuación.

Como se indicó inicialmente, nuestra investigación se basa en numerosos supuestos. Presentamos ahora nuestro último supuesto: no solo emerge polvo estelar del agujero negro en dos direcciones opuestas, sino que también planteamos la hipótesis de que la fuerza gravitatoria de la estrella que colapsa en otro universo sale del agujero negro en dos direcciones opuestas.

Copyright © Yarel A

Inducción electromagnética

La inducción electromagnética fue descubierta por primera vez ya en 1830 por Faraday M [4]. Faraday observó que, al introducir y retirar un imán permanente de una bobina o de una única espira de alambre, se inducía una fuerza electromotriz o fem, es decir, una tensión, y por consiguiente se producía una corriente. Si se admite la validez de nuestros supuestos anteriores, se deduce que, teóricamente, debería circular una corriente eléctrica por las bobinas de polvo estelar. La imagen de simulación pretende ilustrar este escenario físico y mostrar las condiciones en que circularía una corriente por las bobinas (Figura 1). **Secuencia de acontecimientos que detalla el funcionamiento de la máquina interuniversal:** El polvo estelar emerge del agujero negro en dos direcciones opuestas durante millones de años. Este polvo estelar se acumula en una gran masa, con la salida del agujero negro en su centro. Inicialmente se forma un reloj de arena ardiente mientras una nueva estrella toma forma [5]. Con el tiempo, a medida que se solidifica la masa de polvo estelar, las condiciones físicas evolucionan y cambian en consecuencia. Las dos bobinas de polvo estelar que salen del agujero negro se encuentran dentro de una enorme masa acumulada y forman bobinas sólidas con conductividad eléctrica. La enorme masa que se acumula permanece inmóvil. Por las bobinas circula una corriente que enciende y quema cualquier combinación de materiales combustibles. De forma aleatoria, cuando se acumula un núcleo metálico en el centro de una de las bobinas, la situación física cambia. Se crea un electroimán con propiedades magnéticas mientras la bobina sigue calentándose. Toda la masa metálica se reúne en una sola masa; el electroimán atrae la masa mezclada con metal y provoca la rotación de la masa del Sol recién formado. En el movimiento de rotación del Sol sobre su eje, una bobina se dispone a lo largo de la rotación solar y la segunda bobina se interrumpe mientras el Sol gira alrededor del eje, que pasa por el centro de la primera bobina y forma un núcleo metálico permanente para el electroimán resultante. En el otro universo, el agujero negro se vuelve dinámico y gira con respecto al Sol situado al otro lado del universo a una velocidad enorme debido a la distorsión temporal entre universos. La estrella en colapso colapsará más deprisa y desaparecerá en 48 horas, pero en el otro universo donde funciona el Sol, este funcionará durante millones de años.

Fase fundacional de la máquina avanzada

La fase fundacional de nuestra máquina avanzada ya está completa. Hemos presentado satisfactoriamente el mecanismo interuniversal responsable de generar el Sol. Esta máquina desempeña un papel crucial en el funcionamiento del sistema solar. A partir de la descripción del mecanismo responsable de la formación del Sol y de la generación de energía solar, es importante señalar que inicialmente solo se detalló el proceso de formación de este motor estelar. Sin embargo, este motor influye en la creación de un sistema completo, el sistema solar, que comprende todos los planetas. Aunque estas descripciones sirven actualmente como ilustración, más adelante demostraremos que las estimaciones seleccionadas entre numerosos intentos fallidos son efectivamente correctas. Las pruebas de su validez se aportarán en las secciones siguientes.

Efectos del motor solar sobre el Sol y el sistema solar

La siguiente sección continúa describiendo los efectos del motor solar sobre el Sol y los planetas del sistema solar: en esta presentación se reexaminan varios aspectos enigmáticos del funcionamiento del Sol desde una perspectiva novedosa:

La existencia del Sol La fuente de energía del Sol La potencia magnética del Sol La polaridad magnética del Sol La rotación del Sol alrededor de su eje La fuerza responsable de que el ecuador solar gire más rápido que sus polos El calor extremo de la corona solar La fuerza que crea y conserva la inclinación de los planetas La fuerza que impulsa la rotación de los planetas alrededor de sus ejes La fuerza que impulsa la revolución de los planetas alrededor del Sol La fuerza que conserva la revolución de los planetas alrededor del Sol en una órbita en forma de disco La fuerza que crea el movimiento elíptico de los planetas

Conclusiones: La introducción de la «máquina interuniversal» presenta un concepto transformador en astrofísica que modifica de manera fundamental nuestra comprensión de la dinámica del sistema solar y de la evolución cósmica. Mediante una validación rigurosa de las hipótesis y un análisis cuidadoso de las pruebas, esta investigación establece la existencia de un mecanismo autónomo que gobierna no solo la actividad solar, sino también las intrincadas interacciones dentro de nuestro sistema solar. El descubrimiento subraya la

Copyright © Yarel A

importancia de reexaminar los principios astrofísicos establecidos y proporciona un marco para explorar fenómenos cósmicos antes inexplicados. La exploración de la máquina interuniversal realizada en este estudio cubre lagunas de nuestro conocimiento y aporta una comprensión profunda de los orígenes del universo y de las fuerzas que lo sostienen. La representación detallada del funcionamiento de la máquina y de sus implicaciones para la mecánica del sistema solar pone de relieve el delicado equilibrio que mantiene este mecanismo y refuerza su papel fundamental en la estabilidad cósmica. Además, la validación satisfactoria de los supuestos fundamentales demuestra la solidez de la investigación y prepara el camino para futuras indagaciones sobre los mecanismos más profundos del universo. La fase fundacional de la comprensión de esta máquina avanzada ha concluido y establece un nuevo paradigma en el estudio de la dinámica solar y planetaria. Los capítulos siguientes se apoyarán en esta base, aportarán más pruebas y perfeccionarán el marco teórico para esclarecer plenamente la influencia de la máquina interuniversal sobre el Sol y el sistema solar en su conjunto.

Métodos

Escenario de formación del Sol

Dinámica electromagnética en el interior del Sol: Los modelos tradicionales de la dinámica solar atribuyen la energía del Sol a procesos de fusión nuclear en su núcleo, donde los átomos de hidrógeno se fusionan en helio y liberan enormes cantidades de energía [6]. Sin embargo, este estudio introduce una teoría alternativa en la que un mecanismo electromagnético dentro del Sol, alimentado por la máquina interuniversal, genera gran parte de la energía solar.

Esta teoría cuestiona el modelo predominante de fusión al proponer que el polvo estelar, transportado por fuerzas interuniversales, forma bobinas electromagnéticas que activan los procesos solares. Los indicios empíricos, como el calor aumentado de la corona solar y la inversión periódica de los polos magnéticos del Sol, respaldan este nuevo modelo y sugieren que las fuerzas electromagnéticas, y no solo la fusión, son responsables de muchos comportamientos del Sol.

La existencia del Sol

Es indiscutible en el ámbito científico que las estrellas de presecuencia principal (PMS) se formaron a partir de polvo estelar. La imagen publicada por la NASA el 11/16/2022, «El Webb de la NASA capta un reloj de arena ardiente mientras se forma una nueva estrella», ilustra nuestra presentación. Esta muestra la formación del Sol y su propia existencia mediante polvo estelar que emerge de una fuente invisible y en dos direcciones opuestas. Nosotros ya lo habíamos predicho en 2018. Por tanto, la presentación expuesta muestra cómo se produce el Sol y su propia existencia mediante la masa de una estrella que colapsa en otro universo y que atraviesa un agujero negro en dos direcciones opuestas, e ilustra nuestra afirmación. El telescopio espacial James Webb de la NASA ha revelado las características antes ocultas de la protoestrella dentro de la nube oscura L1527, lo que permite conocer los comienzos de una nueva estrella. Estas nubes resplandecientes de la región de formación estelar de Tauro solo son visibles en luz infrarroja, lo que las convierte en un objetivo ideal para la cámara del infrarrojo cercano de Webb (NIRCam). La propia protoestrella está oculta en el «cuello» de esta figura de reloj de arena. Un disco protoplanetario visto de canto aparece como una línea oscura que cruza el centro del cuello. La luz de la protoestrella se filtra por encima y por debajo del disco e ilumina cavidades del gas y el polvo circundantes (Figura 2). La protoestrella dentro de la nube oscura L1527, mostrada en esta imagen de la cámara del infrarrojo cercano (NIRCam) del telescopio espacial James Webb de la NASA, está inmersa en una nube de material que alimenta su crecimiento. Las eyecciones de la estrella han despejado cavidades por encima y por debajo de ella, cuyos bordes brillan en naranja y azul en esta vista infrarroja. La región central superior muestra formas semejantes a burbujas debidas a «eructos» estelares o eyecciones esporádicas. Créditos: NASA, ESA, CSA y STScI. Procesamiento de imagen: J. De-Pasquale, A. Pagan y A. Koekemoer (STScI).

Lluvia ardiente en bucles sobre el Sol: el 19 de julio de 2012 se produjo una erupción solar que generó los tres fenómenos. Una fulguración solar de intensidad moderada estalló en el limbo inferior derecho del Sol y emitió luz y radiación. A continuación se produjo una CME, que salió disparada hacia la derecha y al espacio. Des-

Copyright © Yarel A

pués, el Sol ofreció a los observadores una de sus deslumbrantes exhibiciones magnéticas: un fenómeno conocido como lluvia coronal (Figura 3).

Según nosotros, vemos polvo estelar saliendo de un agujero negro en dos direcciones opuestas (Figura 4).

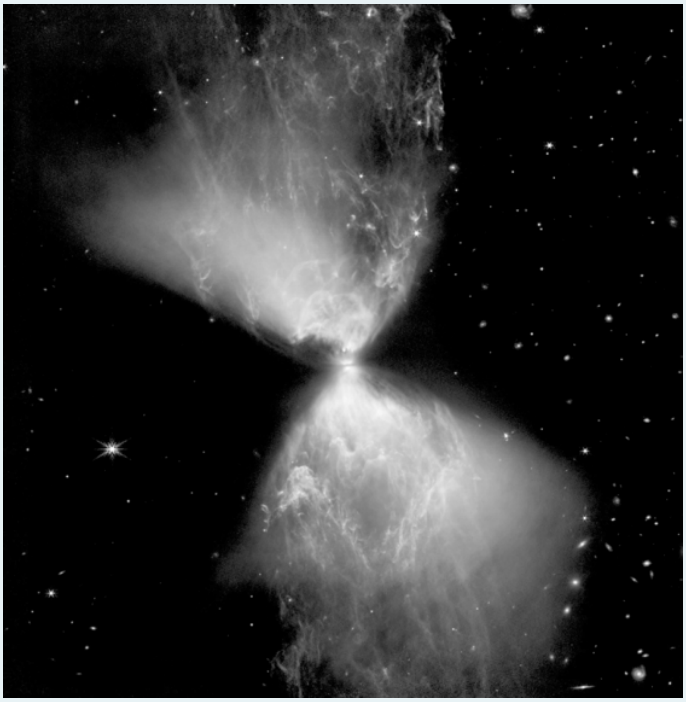


Figura 2: Imagen publicada por la NASA el 11/16/2022: «El Webb de la NASA capta un reloj de arena ardiente mientras se forma una nueva estrella».

Se conserva la ilustración científica original; su pie de figura está traducido a continuación.

Copyright © Yarel A

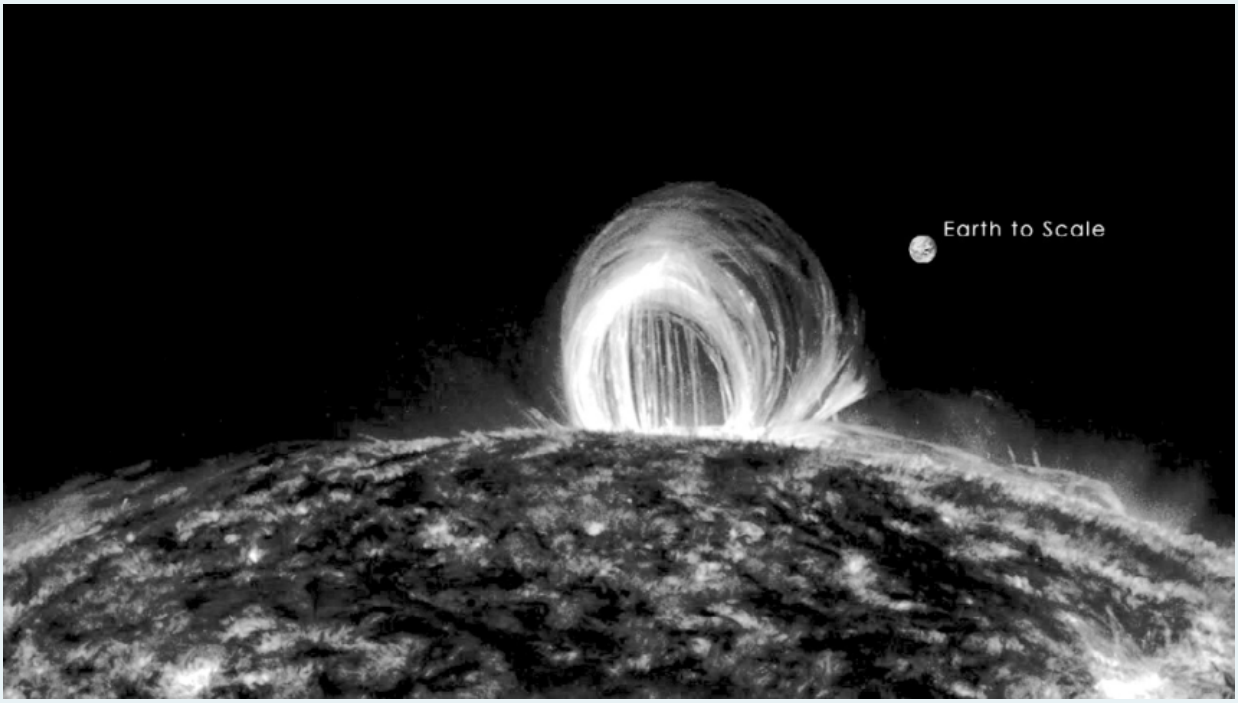


Figura 3: Imágenes obtenidas por el instrumento AIA del Solar Dynamics Observatory, que se estima representan la eyección de material desde un agujero negro en dos direcciones opuestas.

Se conserva la ilustración científica original; su pie de figura está traducido a continuación.

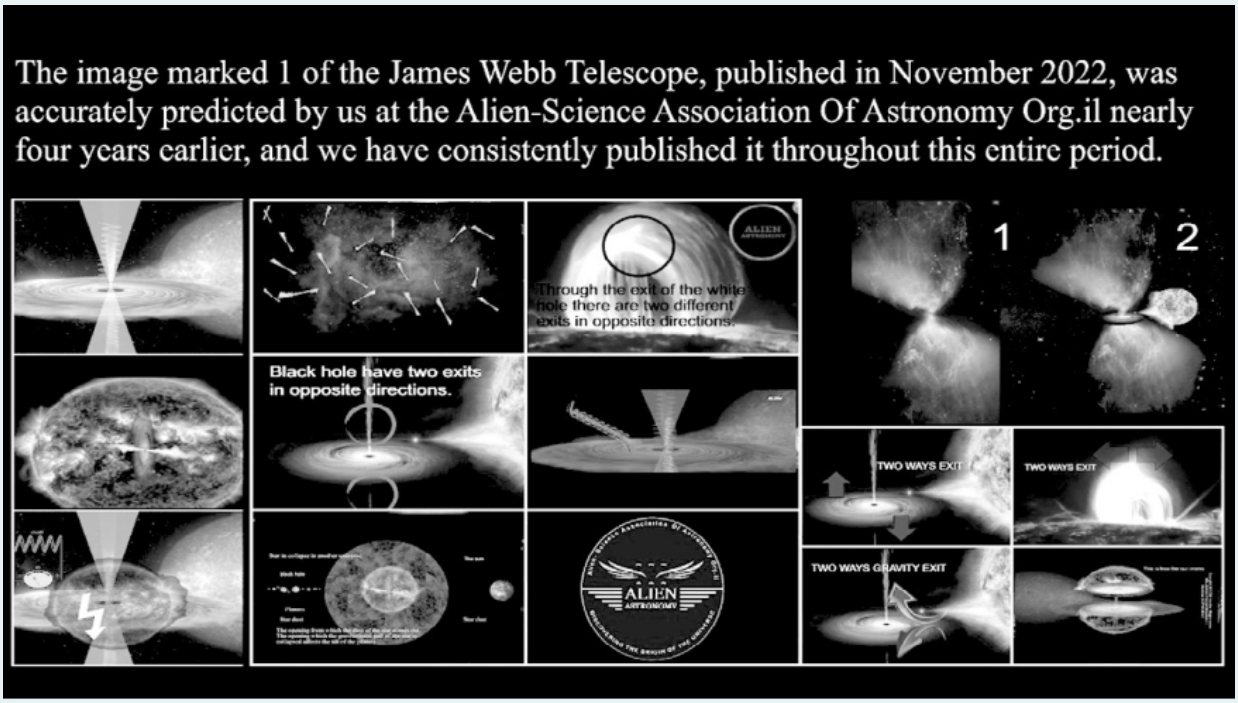


Figura 4: Ilustraciones de imágenes simuladas que representan la salida de polvo estelar de un agujero negro, creadas antes de las observaciones del telescopio espacial James Webb en 2022.

Se conserva la ilustración científica original; su pie de figura está traducido a continuación.

Copyright © Yarel A

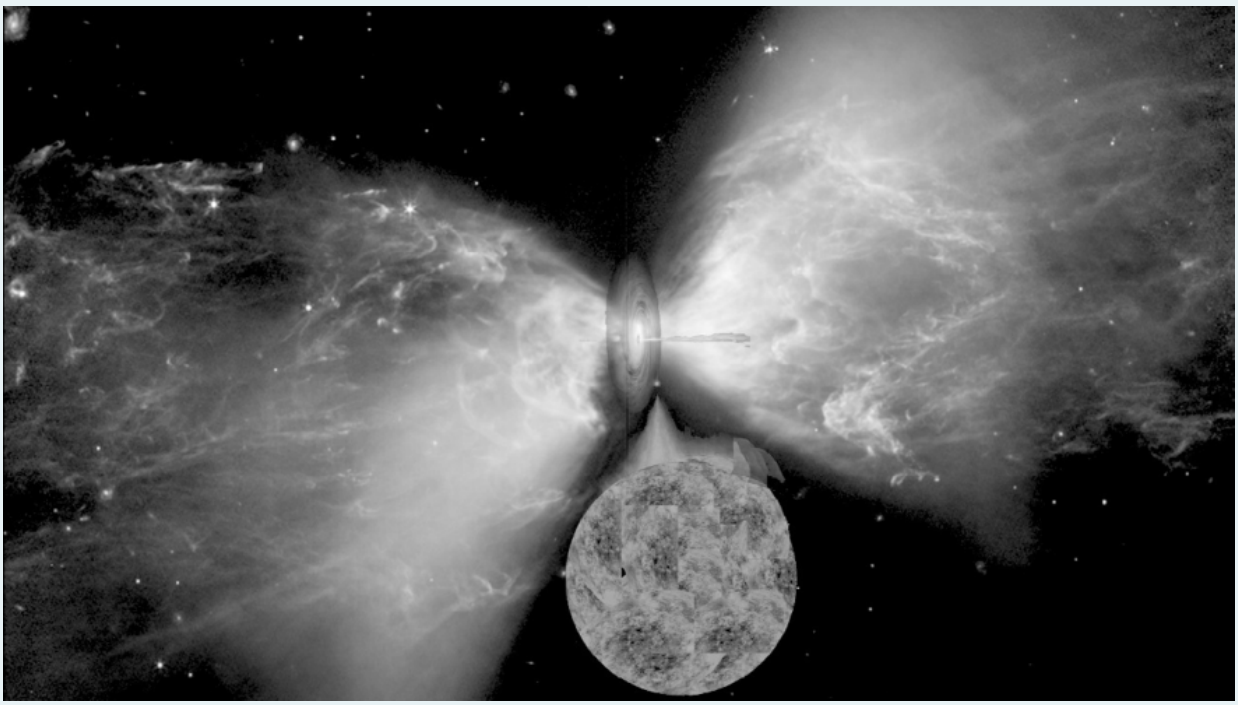


Figura 5: Ilustración: polvo estelar que emerge de un agujero negro en dos direcciones opuestas.

Se conserva la ilustración científica original; su pie de figura está traducido a continuación.

A partir de los supuestos básicos, sostenemos lo siguiente en esta ilustración (Figura 5): estas hipótesis fueron formuladas y publicadas inicialmente por el autor desde octubre de 2018 y de forma habitual desde entonces. El 16 de noviembre de 2022, nuestras afirmaciones se validaron cuando el telescopio espacial James Webb captó una imagen auténtica que respaldaba nuestros hallazgos. **Escenario de conclusión provisional:** La formación del Sol resulta del polvo estelar que sale de un agujero negro en dos direcciones opuestas. **La fuente de energía del Sol:** Mecanismo natural de generación de tensión eléctrica: al examinar el colapso de una estrella en otro universo, identificamos un mecanismo natural que funciona como generador de tensión eléctrica y crea energía eléctrica dentro del Sol. El proceso puede describirse como sigue. **Presentación de la tesis y análisis fenomenológico de la dinámica del sistema solar:** En esta sección proponemos una tesis que constituye una conclusión tanto única como necesaria, derivada de todos los fenómenos observables del sistema solar. Esta conclusión es indispensable para la existencia del Sol y del sistema solar en sus formas conocidas. **Eyección de polvo estelar desde un agujero negro:** La masa de la estrella en colapso entra de forma rotatoria en el horizonte de sucesos del agujero negro. Es natural que la masa salga en espiral del agujero negro. Debido a la enorme distorsión temporal entre universos, la masa que sale del agujero negro se presenta en forma de polvo estelar. El polvo estelar es eyectado de forma circular desde un agujero negro en dos direcciones opuestas. Esta salida forma una espiral compuesta por polvo estelar que contiene numerosos materiales, incluidos metales, los cuales forman una bobina con conductividad eléctrica. **Formación de electricidad en las bobinas:** La gravedad de la estrella en colapso, que atraviesa la abertura del agujero negro en dos direcciones opuestas, incide sobre las bobinas giratorias de polvo estelar y genera electricidad en ellas. Así funciona un generador eléctrico: un imán que pasa sobre una bobina provoca una corriente eléctrica en la bobina (Figura 6).

Copyright © Yarel A

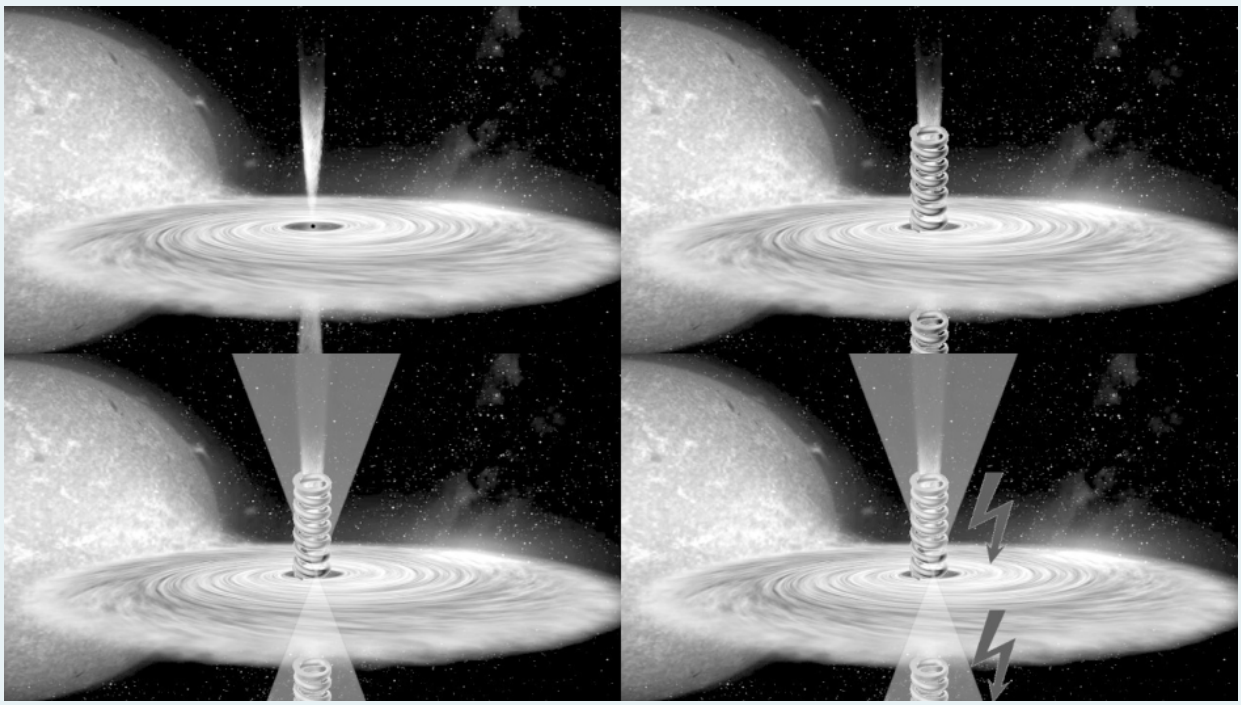


Figura 6: Imágenes ilustrativas que representan el fenómeno tal como ocurre en ambos universos, combinadas en una sola imagen.

Se conserva la ilustración científica original; su pie de figura está traducido a continuación.

Generación de un electroimán

La generación de un electroimán en el contexto de los fenómenos astrofísicos es un proceso complejo y fascinante. Aquí exploramos un escenario en el que la formación de un electroimán ocurre aleatoriamente y conduce a la generación permanente de energía solar. **Acreción y calentamiento:** A medida que se acumula el polvo estelar, comienza a circular una corriente por las bobinas formadas por los componentes metálicos del polvo. Esta corriente genera calor mientras se mantiene la continuidad metálica. **Inicio de la combustión e ignición de materiales combustibles:** El calor de las bobinas enciende cualquier material del polvo estelar cuyos componentes sean capaces de arder.

Formación de propiedades electromagnéticas y estructura del electroimán: De manera aleatoria, se acumula un bloque metálico en el centro de una de las bobinas por las que circula una corriente eléctrica, lo que inicia una serie de procesos. El bloque metálico acumulado, junto con la corriente eléctrica, forma la estructura de un electroimán, lo que da lugar a la aparición de propiedades electromagnéticas. **Concentración de metales:** Los metales del polvo estelar son atraídos hacia el polo positivo del electroimán, situado en la salida del agujero negro. Esta concentración aumenta a medida que se intensifica el electroimán. **Atracción de masa y rotación:** El electroimán atrae la masa circundante y provoca su rotación alrededor del eje del cúmulo preestelar en formación.

Copyright © Yarel A

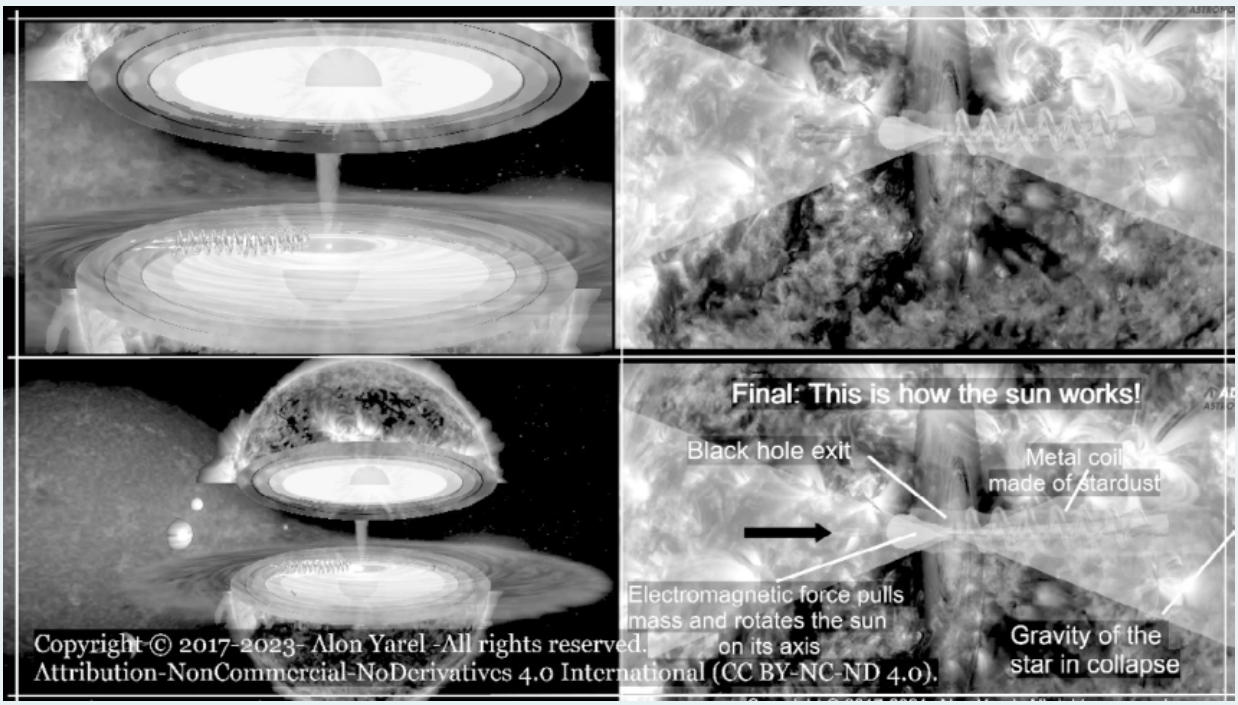


Figura 7: Imágenes ilustrativas del escenario.

Se conserva la ilustración científica original; su pie de figura está traducido a continuación.

Formación de una bobina metálica continua: La bobina de polvo estelar se alinea a lo largo de la salida del agujero negro, situada en el eje de rotación de la protoestrella, y se transforma en una bobina metálica continua. **Interrupción y formación del núcleo:** La rotación del cúmulo preestelar alrededor de su eje interrumpe la trayectoria de una segunda bobina, que pasa por el centro de la bobina inicial y forma un núcleo metálico fijo para el electroimán. **Creación del electroimán:** Este proceso da lugar a la creación de un electroimán capaz de generar los fenómenos asociados al sistema solar. **Ignición de la preestrella:** El calentamiento de la bobina conduce a la ignición de la preestrella. **Radiación electromagnética:** Este escenario crea radiación electromagnética que hace que el calor de la corona sea 300 veces superior al calor superficial. **Formación del Sol:** El electroimán continúa atrayendo la masa mezclada con metal y hace que la protoestrella gire sobre su eje, lo que finalmente la convierte en un Sol.

Este escenario ilustra la intrincada interacción entre las fuerzas electromagnéticas y la mecánica celeste en la generación de energía solar (Figura 7).

Resultados

Como resultado de este proceso, se producen diversas formas de energía dentro del Sol que contribuyen a su producción energética total. Algunas de estas formas de energía se han validado empíricamente, mientras que otras se derivan teóricamente del fenómeno descrito. **Formas de energía dentro del Sol: examen detallado**

Energía térmica de la bobina: El paso de una corriente eléctrica por la bobina genera energía térmica, lo que provoca su calentamiento. Esta energía térmica es consecuencia directa de la resistencia eléctrica que encuentra la corriente. La bobina caliente contribuye a la temperatura global dentro del Sol y participa en el inicio de otros procesos generadores de energía. **Energía de fisión nuclear:** Las mediciones empíricas indican señales de fisión nuclear en el interior del Sol. La simulación del agujero negro V404 Cygni, que muestra la emisión de gases, aporta pruebas sustanciales y determinantes de fisión nuclear en el núcleo de la actividad solar. Este proceso implica la importante cantidad de gases emitidos como resultado de esta actividad. **Energía de fusión nuclear:** El calor generado por la bobina inicia procesos de fusión nuclear dentro del Sol, que están bien documentados. En la fusión nuclear, los núcleos atómicos ligeros se combinan para formar nú-

Copyright © Yarel A

cleos más pesados y liberan enormes cantidades de energía. Aunque la suposición predominante ha sido que la fusión nuclear por sí sola explica la producción energética del Sol, ahora se concluye que la fusión nuclear no es la fuente principal del calor solar, sino un resultado de otros procesos que contribuyen a la energía solar.

Energía electromagnética: inducción electromagnética y mecánica solar

Desde el descubrimiento de la inducción electromagnética por Faraday M [7], los científicos han utilizado estos principios para explicar diversos fenómenos astrofísicos, incluidas las fulguraciones solares, las tormentas magnéticas y las inversiones de polaridad magnética del Sol. Las fuerzas electromagnéticas constituyen un componente central de la dinámica estelar, y las partículas cargadas del Sol crean campos magnéticos complejos que rigen la actividad solar [8].

Este estudio amplía la aplicación de la inducción electromagnética a la escala cósmica y sugiere que el núcleo solar contiene un motor electromagnético alimentado por bobinas interuniversales de polvo estelar. Esta propuesta novedosa integra la ley de inducción de Faraday con observaciones recientes de emisiones de agujeros negros para plantear que estos procesos electromagnéticos impulsan la actividad del Sol [7]. **Energía electromagnética:** Como resultado de la formación del electroimán dentro del Sol aparecen fenómenos magnéticos: genera la rotación del Sol alrededor del eje, genera la potencia del agujero negro que provoca el colapso acelerado de la estrella en otro universo, explica el aumento del magnetismo solar y explica la polaridad del Sol. Si se admite la posibilidad de evaluar que la radiación electromagnética de microondas es la que provoca el calor de la corona, también provoca otros fenómenos de nuestro sistema solar, que se detallarán. La energía del electroimán procede de una corriente eléctrica que atraviesa una bobina enrollada alrededor del núcleo metálico. **Radiación electromagnética de la corona:** El espectro electromagnético es un intervalo de longitudes de onda de la radiación electromagnética. De mayor a menor longitud de onda, el espectro EM incluye ondas de radio, microondas, infrarrojo, luz visible, ultravioleta, rayos X y rayos gamma. **Temperatura extraordinaria de la corona:** En ciencia se sabe que la temperatura fuera de una fuente de calor no puede superar la temperatura de la propia fuente de calor. Sin embargo, en el caso del Sol, la temperatura superficial es de aproximadamente 5000 grados Celsius, mientras que la temperatura de la corona alcanza la asombrosa cifra de 1.5 millones de grados Celsius. Aunque todavía no se ha demostrado que las fuerzas de radiación electromagnética de microondas por sí solas generen el calor coronal, la inducción electromagnética dinámica de microondas proporciona una explicación plausible para esta anomalía, en la que la temperatura superficial es considerablemente inferior a la de la corona. Esta aparente paradoja sugiere la presencia de una fuente dinámica de calor de microondas responsable de que la temperatura de la corona sea 300 veces mayor que la de la superficie solar. Un candidato plausible para esta fuente dinámica de calor es un mecanismo de microondas. Aunque todavía faltan mediciones directas, se plantea que las microondas del electroimán dentro del Sol generan radiación de microondas. Un mecanismo de este tipo podría producir teóricamente una cantidad sustancial de calor en la región circundante y mantener al mismo tiempo una temperatura considerablemente inferior dentro del propio electroimán.

Conclusión sobre la energía electromagnética: Aunque las mediciones precisas todavía no han confirmado que la potencia electromagnética emitida por el Sol opere a frecuencias de microondas suficientes para generar el calor de la corona, la inducción electromagnética dinámica sigue siendo la explicación más plausible de este fenómeno anómalo. La propia existencia de un electroimán dentro del Sol muestra que una conclusión altamente probable es que la energía electromagnética de microondas sea responsable de generar el calor de la corona solar.

Conclusiones

El escenario presentado expone una perspectiva novedosa sobre la formación y la dinámica energética del Sol, basada en la hipótesis de que el polvo estelar que emerge de un agujero negro desempeña un papel crucial en estos procesos. Las pruebas aportadas, incluidas las observaciones y simulaciones de la NASA, respaldan la afirmación de que la formación del Sol está estrechamente vinculada a la eyección de material desde una estrella en colapso situada en otro universo. Este escenario cuestiona las perspectivas tradicionales y ofrece una explicación convincente de la existencia del Sol y de la fuente de su energía. El análisis de las fuentes de energía solar realizado en el capítulo detalla además los mecanismos mediante los que el Sol genera su inmensa potencia. El mecanismo natural propuesto de generación de tensión eléctrica dentro del Sol proporciona un marco coherente para comprender la interac-

Copyright © Yarel A

ción entre el polvo estelar, el electromagnetismo y los procesos nucleares. La secuencia descrita de acontecimientos que conducen a la creación de un electroimán dentro del Sol ofrece una explicación plausible de diversos fenómenos solares, entre ellos la rotación solar, sus propiedades magnéticas y el calor extremo de su corona. El capítulo concluye destacando la diversidad de formas de energía presentes en el Sol, incluidas la energía térmica, la energía de fisión y fusión nuclear y la energía electromagnética. Estas energías no solo son vitales para el funcionamiento solar, sino que también tienen implicaciones importantes para comprender la dinámica general de nuestro sistema solar. El examen detallado de estos procesos subraya la importancia de replantear los conceptos astrofísicos establecidos a la luz de estas nuevas pruebas y prepara el camino para nuevas exploraciones y validaciones en investigaciones futuras.

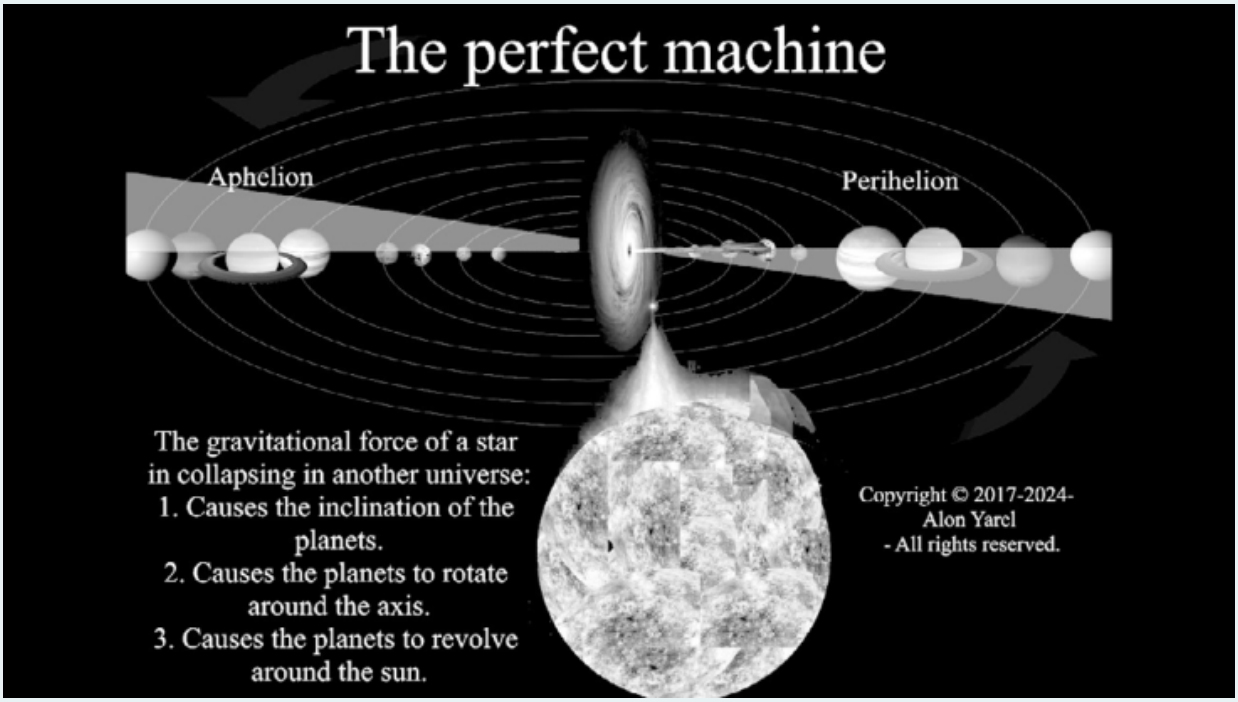


Figura 8: Imagen de presentación de la máquina interuniversal.

Se conserva la ilustración científica original; su pie de figura está traducido a continuación.

Presentación de la máquina interuniversal

En este capítulo presentaremos la máquina interuniversal. A continuación se incluye una imagen de presentación de la máquina interuniversal. Esta presentación muestra cómo la máquina interuniversal, además de crear el Sol y producir energía solar, también realiza los fenómenos del sistema solar: A. La inclinación de los planetas. B. La rotación de los planetas alrededor de sus ejes. C. La revolución de los planetas alrededor del Sol. D. La estabilización de las órbitas de revolución de los planetas alrededor del Sol en una formación semejante a un disco (Figura 8).

El fenómeno interuniversal: cuestionamiento del Big Bang

Observaciones astronómicas recientes, incluidas las de la misión GRACE de la NASA y del telescopio espacial James Webb (JWST), han proporcionado nuevos datos que cuestionan los modelos cosmológicos tradicionales. Este estudio introduce la idea de que los agujeros negros pueden actuar como portales interuniversales que eyectan polvo estelar a nuestro universo, donde se acumula y forma cuerpos estelares. La bibliografía actual, incluido el trabajo de Hawking [9] sobre agujeros negros y radiación, no contempla estos fenómenos interuniversales, pero este proyecto pretende abordar esa

Copyright © Yarel A

laguna proponiendo un mecanismo radical para la dinámica del sistema solar mediante la máquina interuniversal.

La emisión observada de polvo estelar desde el agujero negro v404 Cygni, junto con la imagen del reloj de arena ardiente de la NASA, constituye una prueba convincente que respalda esta teoría. Aunque estos fenómenos se han interpretado tradicionalmente a la luz de procesos astrofísicos conocidos, esta investigación plantea que son pruebas de intercambio interuniversal y de formación solar impulsada por fuerzas antes desconocidas.

La fuerza que crea y conserva la inclinación de los planetas

Fenómenos de agujeros negros y distorsión temporal interuniversal: La idea de que los agujeros negros actúan como singularidades cósmicas donde el tiempo y el espacio se distorsionan está bien establecida [10]. Sin embargo, el concepto de distorsión temporal entre universos tal como se describe en esta investigación no tiene precedentes en la bibliografía actual. Por ejemplo, se ha observado al agujero negro v404 Cygni eyectando gas en dos direcciones, lo que se asemeja al patrón de espirales de polvo estelar que emergen de un agujero negro descrito en este estudio. Aunque estas observaciones se han analizado desde perspectivas astrofísicas tradicionales, la máquina interuniversal propuesta ofrece una nueva explicación: estas eyecciones son el resultado de una estrella que colapsa en un universo, atraviesa un agujero negro y crea polvo estelar en otro. La distorsión temporal inherente a este proceso, en el que acontecimientos que transcurren durante dos días en un universo abarcan millones de años en otro, añade complejidad a nuestra comprensión de los agujeros negros y de su papel en la evolución cósmica. **Dinámica gravitatoria en el colapso del multiverso:** Este capítulo constituye la piedra angular de nuestro estudio. Varias estimaciones se basan en la existencia de la fuerza gravitatoria de una estrella en colapso situada en el otro universo, que atraviesa un agujero negro y emerge en dos direcciones opuestas.

Hipótesis y pruebas

Nuestra hipótesis afirma la presencia de una fuerza gravitatoria procedente del Sol que la ciencia aún no ha caracterizado. La misión GRACE de la NASA, una iniciativa galardonada, ha revolucionado nuestra comprensión de las fuerzas gravitatorias terrestres y del sistema Tierra. La misión Gravity Recovery and Climate Experiment (GRACE) contó con dos vehículos espaciales que volaban en tándem alrededor de la Tierra para vigilar cambios fundamentales en las masas de agua, las capas de hielo y la masa sólida del planeta. Estos vehículos detectaron «cambios estacionales de la gravedad», lo que indica que la fuerza gravitatoria G varía entre verano e invierno. La NASA atribuyó estos cambios a los efectos gravitatorios de las lluvias invernales y del flujo de aguas subterráneas. Sin embargo, nuestra interpretación sugiere que estas variaciones estacionales de la gravedad están influidas por la fuerza gravitatoria de una estrella en colapso. Proponemos que esta fuerza externa modula la gravedad terrestre en relación con las estaciones. Esta fuerza gravitatoria, que deseamos presentar ahora, es la misma que activa la corriente eléctrica en la bobina dentro del Sol.

Inclinación de la Tierra

Presentaremos ahora las pruebas que respaldan nuestra hipótesis principal sobre la existencia de una fuerza gravitatoria de una estrella en colapso en otro universo, que mantiene la actividad solar y hace que la Tierra se incline. Estas pruebas se apoyan en la inclinación de la Tierra. Observamos que la inclinación terrestre no es natural, pues una inclinación natural no variaría de velocidad ni detendría su movimiento. En cambio, la inclinación terrestre sí acelera, desacelera e incluso se detiene durante cuatro días, dos veces al año.

Copyright © Yarel A

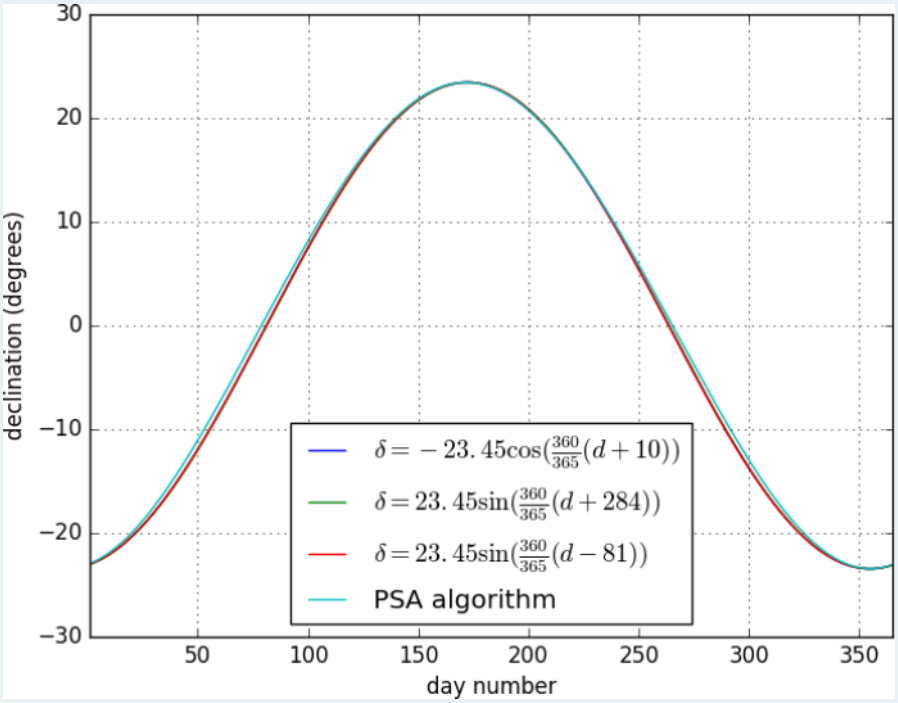


Figura 9: Variación anual de la inclinación terrestre con las fórmulas de cálculo correspondientes.

Se conserva la ilustración científica original; su pie de figura está traducido a continuación.

Tabla 1: Valores medios de la declinación solar para el ciclo cuatrienal de años bisiestos.

Las celdas numéricas, los signos y los valores originales se conservan sin modificaciones. Encabezados de los meses: enero, febrero, marzo, abril, mayo, junio; julio, agosto, septiembre, octubre, noviembre, diciembre. N: norte; S: sur.

	Jan	Feb	Mar	Apr	May	Jun
1	23.1S	17.3S	7.8S	N 4.3	14.9N	22.0N
2	22.9S	17.1S	7.4S	4.7	15.2N	22.1N
3	22.9S	16.8S	7.0S	N 5.1	15.5N	22.2N
4	22.8S	16.5S	6.6S	N 5.5	15.8N	22.3N
5	22.7S	16.2S	6.3S	N 5.8	16.1N	22.5N
6	22.6S	15.8S	5.8S	N 6.2	16.4N	22.6N
7	22.4S	15.6S	5.5S	N 6.6	16.6N	22.7N
8	22.3S	15.2S	5.1S	N 7.0	16.9N	22.8N
9	22.2S	14.8S	4.7S	N 7.3	17.2N	22.9N
10	22.1S	14.6S	4.3S	N 7.7	17.4N	23.0N
11	21.9S	14.3S	3.9S	N 8.1	17.7N	23.0N
12	21.8S	13.9S	3.5S	N 8.5	18.0N	23.1N
13	21.6S	13.6S	3.1S	N 8.8	18.2N	23.2N
14	21.5S	13.3S	2.8S	N 9.2	18.5N	23.2N
15	21.3S	12.9S	2.3S	N 9.5	18.7N	23.3N
16	S 21.1	12.6S	2.0S	N 9.9	19.0N	23.3N
17	20.9S	12.2S	1.6S	10.3N	19.2N	23.3N
18	20.7S	11.8S	1.2S	10.6N	19.4N	23.4N
19	20.5S	11.6S	0.8S	10.9N	19.6N	23.4N

Copyright © Yarel A

20	20.3S	11.2S	0.4S	11.3N	19.8N	23.5N
21	20.1S	10.8S	0	11.6N	20.1N	23.5N
22	19.8S	10.5S	0.4N	12.0N	20.3N	23.5N
23	19.6S	10.1S	0.8N	12.3N	20.4N	23.5N
24	19.4S	9.7S	1.2N	12.4N	20.6N	23.4N
25	19.2S	9.4S	1.6N	13.0N	20.8N	23.4N
26	18.8S	9.0S	2.0N	13.3N	21.0N	23.4N
27	18.6S	8.6S	2.6N	13.6N	21.2N	23.3N
28	18.4S	8.3S	2.8N	14.0N	21.4N	23.3N
29	18.1S	8.0S	3.1N	14.3N	21.5N	23.2N
30	17.8S	-	3.5N	14.6N	21.6N	23.2N
31	17.6S	-	3.8N	-	21.8N	-

	July	Aug	Sep	Oct	Nov	Dec
1	23.1N	18.1N	8.5N	2.9S	14.2S	21.7S
2	23.1N	17.9N	8.1N	3.3S	14.6S	21.8S
3	23.0N	17.6N	7.8N	3.7S	14.8S	22.0S
4	22.9N	17.4N	7.4N	4.1S	15.2S	22.1S
5	22.8N	17.1N	7.0N	4.5S	15.5S	22.3S
6	22.7N	16.8N	6.6N	4.8S	15.8S	22.4S
7	22.6N	16.6N	6.3N	5.3S	16.1S	22.5S
8	22.5N	16.3N	5.9N	5.6S	16.4S	22.6S
9	22.5N	16.0N	5.5N	6.0S	16.6S	22.7S
10	22.3N	15.7N	5.1N	6.4S	16.9S	22.8S
11	22.2N	15.4N	4.8N	6.8S	17.2S	22.9S
12	22.1N	15.1N	4.4N	7.1S	17.5S	23.0S
13	21.9N	14.8N	4.0N	7.5S	17.8S	23.1S
14	21.8N	14.5N	3.6N	7,9S	18.1S	23.1S
15	21.6N	14.2N	3.3N	8.3S	18.3S	23.2S
16	.21 5N	13.9N	2.8N	8.6S	18.6S	23.3S
17	21.3N	13.6N	2.5N	9.0S	18.8S	23.3S
18	N 21.1	13.3N	2.1N	9.4S	19.1S	23.3S
19	20.9N	13.0N	1.7N	9.7S	19.3S	23.4S
20	20.8N	12.6N	1.3N	10.1S	19.6S	23.4S
21	20.6N	12.3N	0.9N	10.5S	19.8S	23.5S
22	20.4N	12.0N	0.5N	10.8S	20.0S	23.5S
23	20.2N	11.6N	0.1N	11.2S	20.2S	23.4S
24	20.0N	11.3N	0.2S	11.5S	20.4S	23.4S
25	19.8N	10.9N	0.6S	11.8S	20.6S	23.4S
26	19.6N	10.6N	1.0S	12.2S	20.8S	23.4S
27	19.3N	10.3N	1.4S	12.6S	21.0S	23.3S
28	19.1	9.9N	1.8S	12.9S	21.2S	23.3S
29	18.9N	9.6N	2.1S	13.2S	21.3S	23.2S
30	18.6N	9.3N	2.6S	13.6S	21.5S	23.2S
31	18.4N	8.8N	-	13.8S	-	23.1S

Copyright © Yarel A

Fórmulas y datos

De acuerdo con la Figura 9 y las Tablas 1 & 2, vemos que la inclinación terrestre es dinámica.

Según la primera ley de Newton, un objeto permanece en reposo o se mueve en línea recta a velocidad constante a menos que actúe sobre él una fuerza externa. Sin embargo, el gráfico y la tabla proporcionados sobre la inclinación terrestre demuestran que esta inclinación es dinámica.

Los datos muestran que la inclinación terrestre experimenta periodos de aceleración y desaceleración, e incluso se detiene completamente durante cuatro días, dos veces al año. Este comportamiento contradice el concepto de movimiento perpetuo, que implica movimiento continuo en un sistema no perturbado. • **Conclusión:** La inclinación terrestre no es natural.

Tabla 2: Valores anuales calculados de la inclinación terrestre.

Las celdas numéricas, los signos y los valores originales se conservan sin modificaciones. Valores anuales de la inclinación terrestre. El día del año y los valores de inclinación se reproducen tal como aparecen impresos.

Annual values of Earth's inclination															
351	23.39-	301	14.02-	251	5.1	201	20.68	151	21.86	101	7.81	51	11.66	1	23.03
352	23.41-	302	14.34	252	4.71	202	20.49	152	22	102	8.19	52	11.31-	2	22.95
353	23.43-	303	14.66	253	4.31	203	20.29	153	22.14	103	8.57	53	10.95-	3	22.86-
354	23.44-	304	14.97	254	3.91	204	20.08	154	22.27	104	8.95	54	10.60-	4	22.77-
355	23.45-	305	15.28	255	3.51	205	19.87	155	22.39	105	9.32	55	10.23-	5	22.67-
356	23.44-	306	15.59	256	3.11	206	19.65	156	22.51	106	9.69	56	9.87-	6	22.56-
357	23.43-	307	15.89	257	2.71	207	19.43	157	22.62	107	10.1	57	9.50-	7	22.45
358	23.41-	308	16.18	258	2.31	208	19.2	158	22.72	108	10.4	58	9.13-	8	22.33-
359	23.39-	309	16.47	259	1.91	209	18.97	159	22.81	109	10.8	59	8.76-	9	22.20-
360	23.36-	310	16.75	260	1.51	210	18.73	160	22.9	110	11.1	60	8.38-	10	22.07-
361	23.32-	311	17.03	261	1.1	211	18.48	161	22.99	111	11.5	61	8.00-	11	21.93-
362	23.28-	312	17.31	262	0.7	212	18.23	162	23.06	112	11.8	62	7.62-	12	21.78-
363	23.22-	313	17.58	263	0.3	213	17.97	163	23.13	113	12.2	63	7.24-	13	21.63-
364	23.17-	314	17.84	264	0.1	214	17.71	164	23.2	114	12.5	64	6.86-	14	21.47-
365	23.10-	315	18.1	265	0.5	215	17.44	165	23.25	115	12.9	65	6.47-	15	21.31-
		316	18.36	266	0.9	216	17.17	166	23.3	116	13.2	66	6.08-	16	21.14-
		317	18.6	267	1.31	217	16.89	167	23.34	117	13.5	67	5.69-	17	20.96-
		318	18.85	268	1.71	218	16.61	168	23.37	118	13.9	68	5.30-	18	20.77-
		319	19.08	269	2.11	219	16.33	169	23.4	119	14.2	69	4.90-	19	20.58-
		320	19.32	270	2.51	220	16.03	170	23.42	120	14.5	70	4.51-	20	20.39-
		321	19.54	271	2.91	221	15.74	171	23.44	121	14.8	71	4.11-	21	20.18-
		322	19.76	272	3.31	222	15.43	172	23.44	122	15.1	72	3.71-	22	19.98-
		323	19.98	273	3.71	223	15.13	173	23.44	123	15.4	73	3.31-	23	19.76-
		324	2018	274	4.11	224	14.82	174	23.44	124	15.7	74	2.91-	24	19.54-
		325	20.39	275	4.51	225	14.5	175	23.42	125	16	75	2.51-	25	19.32-
		326	20.58	276	4.9	226	14.18	176	23.4	126	16.3	76	2.11-	26	19.08
		327	20.77	277	5.30-	227	13.86	177	23.38	127	16.6	77	1.71-	27	18.85-
		328	20.96	278	5.69	228	13.53	178	23.34	128	16.9	78	1.31-	28	18.60-
		329	21.14	279	6.08	229	13.2	179	23.3	129	17.2	79	0.9	29	18.36

Copyright © Yarel A

		330	21.31	280	6.47	230	12.87	180	23.25	130	17.4	80	0.5	30	18.10-
		331	21.47	281	6.86	231	12.55	181	23.01	131	17.7	81	0.10-	31	17.84-
		332	21.63	282	7.24	232	12.18	182	23.13	132	18	82	0.3	32	17.58
		333	21.78	283	7.62	233	11.84	183	23.06	133	18.2	83	0.7	33	17.31
		334	21.93	284	8	234	11.49	184	22.99	134	18.5	84	1.1	34	17.03-
		335	22.07	285	8.38	235	11.13	185	22.9	135	18.7	85	1.51	35	16.75-
		336	22.2	286	8.76	236	10.78	186	22.81	136	19	86	1.91	36	16.47-
		337	22.33	287	9.13	237	10.42	187	22.72	137	19.2	87	2.31	37	16.18-
		338	22.45	288	9.5	238	10.05	188	22.62	138	19.4	88	2.71	38	15.89
		339	22.56	289	9.87	239	9.69	189	22.51	139	19.7	89	3.11	39	15.59-
		340	22.67	290	0.23	240	9.32	190	22.39	140	19.9	90	3.51	40	15.28-
		341	22.77	291	10.6	241	8.95	191	22.27	141	20.1	91	3.91	41	14.97-
		342	22.86	292	10.95	242	8.57	192	22.14	142	20.3	92	4.31	42	14.66-
		343	22.95	293	11.31	243	8.19	193	22	143	20.5	93	4.71	43	14.34-
		344	23.03	294	11.66	244	7.81	194	21.86	144	20.7	94	5.1	44	14.02-
		345	23.1	295	12.01	245	7.43	195	21.71	145	20.9	95	5.49	45	13.07-
		346	23.17	296	12.35-	246	7.05	196	21.55	146	21.1	96	5.89	46	13.37-
		347	23.22	297	12.7	247	6.66	197	21.39	147	21.2	97	6.28	47	13.03-
		348	23.28	298	13.03	248	6.28	198	21.22	148	21.4	98	6.66	48	12.70-
		349	23.32	299	13.37	249	5.89	199	21.05	149	21.6	99	7.05	49	12.35
		350	23.36	300	13.7	250	5.49	200	21.87	150	21.7	100	7.43	50	12.01-

Fuerzas externas que influyen en la inclinación terrestre: Por tanto, concluimos que una fuerza desconocida acelera, desacelera e incluso detiene la inclinación terrestre durante cuatro días, dos veces al año. Esto plantea una pregunta fundamental: ¿qué fuerza externa actúa sobre la Tierra para explicar este fenómeno? Más concretamente, ¿qué fuerza externa actúa sobre la Tierra para producir las variaciones precisas de inclinación observadas en el gráfico adjunto? **Fuerza gravitatoria de una estrella en colapso e influencias gravitatorias sobre el movimiento planetario:** La mecánica newtoniana y las leyes de Kepler [11] del movimiento planetario se han aceptado durante mucho tiempo como marco para comprender cómo se mueven los planetas en el sistema solar. La teoría de la gravitación de Newton ha sido perfeccionada por la teoría de la relatividad general de Einstein, que explica mejor las anomalías gravitatorias, como la precesión del perihelio de Mercurio [1].

Sin embargo, este estudio cuestiona el supuesto de que solo la gravedad rige las inclinaciones y rotaciones planetarias.

Plantea que la fuerza gravitatoria de una estrella en colapso situada en otro universo, al atravesar un agujero negro, ejerce un momento de torsión dinámico sobre los planetas e influye tanto en sus rotaciones axiales como en sus trayectorias orbitales. Las variaciones estacionales de la gravedad medidas por la misión GRACE de la NASA, Zou Z y colaboradores [12], sugieren que el movimiento planetario puede ser más dinámico y estar más influido por fuerzas externas de lo que se pensaba. Este hallazgo concuerda con la hipótesis de que fuerzas interuniversales actúan sobre nuestro sistema solar y reformulan los modelos convencionales de la gravedad.

Según nuestro estudio

Según nuestro estudio, existe una fuerza gravitatoria procedente de una estrella en colapso en otro universo que actúa en dos direcciones opuestas y provoca la inclinación de la Tierra, como se representa en la imagen (Figura 10).

Copyright © Yarel A

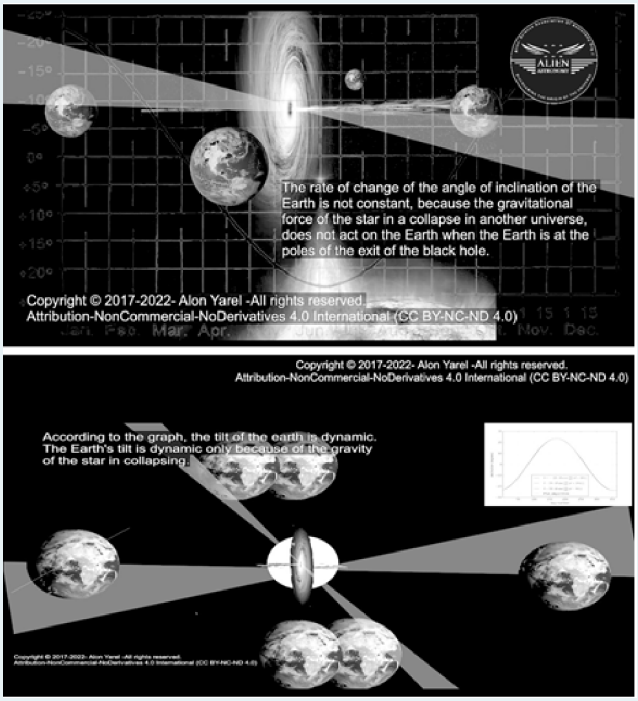


Figura 10: Ilustración del impacto gravitatorio de una estrella en colapso sobre la Tierra. El gráfico de la inclinación terrestre refleja, de hecho, la influencia gravitatoria de una estrella que colapsa en otro universo.

Se conserva la ilustración científica original; su pie de figura está traducido a continuación.

Esta afirmación se fundamenta en la conclusión lógica de que, cuando la Tierra se encuentra en los polos de la salida del agujero negro, la fuerza gravitatoria de la estrella en colapso del otro universo deja de actuar sobre la Tierra. En consecuencia, observamos en la tabla una detención completa de la inclinación terrestre durante aproximadamente cuatro días, dos veces al año. Además, vemos una aceleración de la inclinación terrestre cuando la mitad de la Tierra está expuesta a la fuerza gravitatoria de la estrella en colapso. Cabe destacar que, por tratarse de la salida de un agujero negro, el ángulo de exposición terrestre a la fuerza gravitatoria no alcanza su máximo de forma instantánea, como indica el gráfico. La Tierra tarda varios días en entrar por completo en la región donde la influencia gravitatoria de la estrella está plenamente activa.

Pruebas de los vehículos espaciales GRACE.

Al incorporar las mediciones de los vehículos espaciales GRACE, que muestran cambios gravitatorios estacionales en la Tierra, estas pruebas resultan aún más convincentes. Así, los datos combinados de la presentación de Alien-Science Association of Astronomy Org.il, la demostración adjunta y otras presentaciones aportan pruebas concluyentes de la existencia de una fuerza gravitatoria procedente de la estrella que colapsa en otro universo.

Reflexión de la gravedad de la estrella en colapso

Deberíamos haber observado una aceleración seguida de una desaceleración de la inclinación axial terrestre durante cada mitad de su órbita alrededor del Sol. Esta expectativa se debe a la estructura esférica de la estrella en colapso. En concreto, todo el hemisferio terrestre debería haber estado expuesto a la influencia gravitatoria creciente y decreciente de la estrella en colapso del otro universo, lo que habría producido este patrón de aceleración y desaceleración.

Copyright © Yarel A

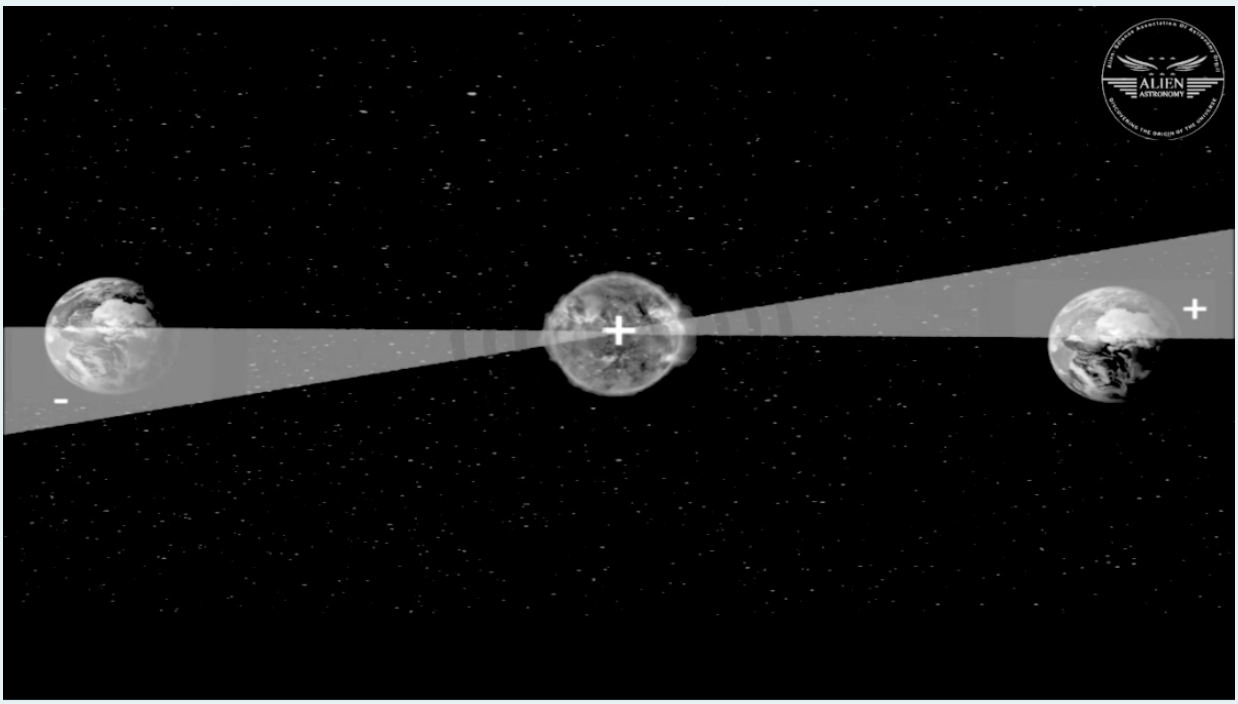


Figura 11: Ilustración de la influencia gravitatoria de una estrella en colapso sobre la Tierra.

Se conserva la ilustración científica original; su pie de figura está traducido a continuación.

Según el gráfico adjunto, los periodos activos se sitúan entre los días 30 y 130 y entre los días 210 y 310. Sin embargo, contrariamente a lo esperado, la inclinación terrestre muestra una aceleración inicial seguida de un aumento continuo en ambas mitades de su órbita alrededor del Sol. Esto indica que la Tierra no experimenta una fase de desaceleración en ningún punto de su media revolución alrededor del Sol.

Esta observación apunta a un fenómeno de reflexión gravitatoria entre agujeros negros en otro universo que solo ahora se revela. La explicación inicial de que la inclinación terrestre hace que solo la mitad del planeta experimente la fuerza gravitatoria de la estrella en colapso en cada media órbita es incorrecta.

El gráfico de la inclinación terrestre presenta la situación de otra manera. En efecto, en cada mitad de la órbita terrestre alrededor del Sol, solo la mitad del planeta está expuesta a la atracción gravitatoria de la estrella en colapso. Sin embargo, al igual que la Tierra, la mitad de su influencia gravitatoria también queda expuesta a la estrella en colapso del otro universo. Esto significa que durante cada media órbita la Tierra y la estrella en colapso están expuestas mutuamente a solo la mitad de la fuerza gravitatoria de la otra.

En conclusión, el gráfico de la inclinación terrestre actúa como reflejo de la estrella en colapso del otro universo. La inclinación amplificada e invertida en cada hemisferio terrestre ilustra que durante el colapso solo se experimenta la mitad de la fuerza gravitatoria de la estrella. Esto también confirma el gráfico de la inclinación terrestre y concuerda con las mediciones de los cambios gravitatorios estacionales en la Tierra.

Estabilización de la inclinación terrestre

• La fuerza gravitatoria de la estrella en colapso, como se ilustra en las figuras siguientes, ejerce una fuerza de atracción en direcciones opuestas sobre los polos de los planetas, incluida la Tierra. Durante el verano, esta fuerza atrae el polo norte terrestre hacia el Sol, mientras que en invierno atrae el polo sur hacia el Sol. • Ya hemos explicado que la inclinación terrestre se detiene cuando el planeta se alinea con los polos del agujero negro. Sin embargo, la gravedad de la estrella en colapso que actúa sobre los polos norte y sur contribuye a estabilizar la inclinación axial terrestre. En consecuencia, esta interacción dinámica produce la estabilización de la inclinación terrestre (Figura 11).

Copyright © Yarel A

• **Conclusión:** La fuerza gravitatoria de la estrella que colapsa en otro universo crea y estabiliza la inclinación terrestre.

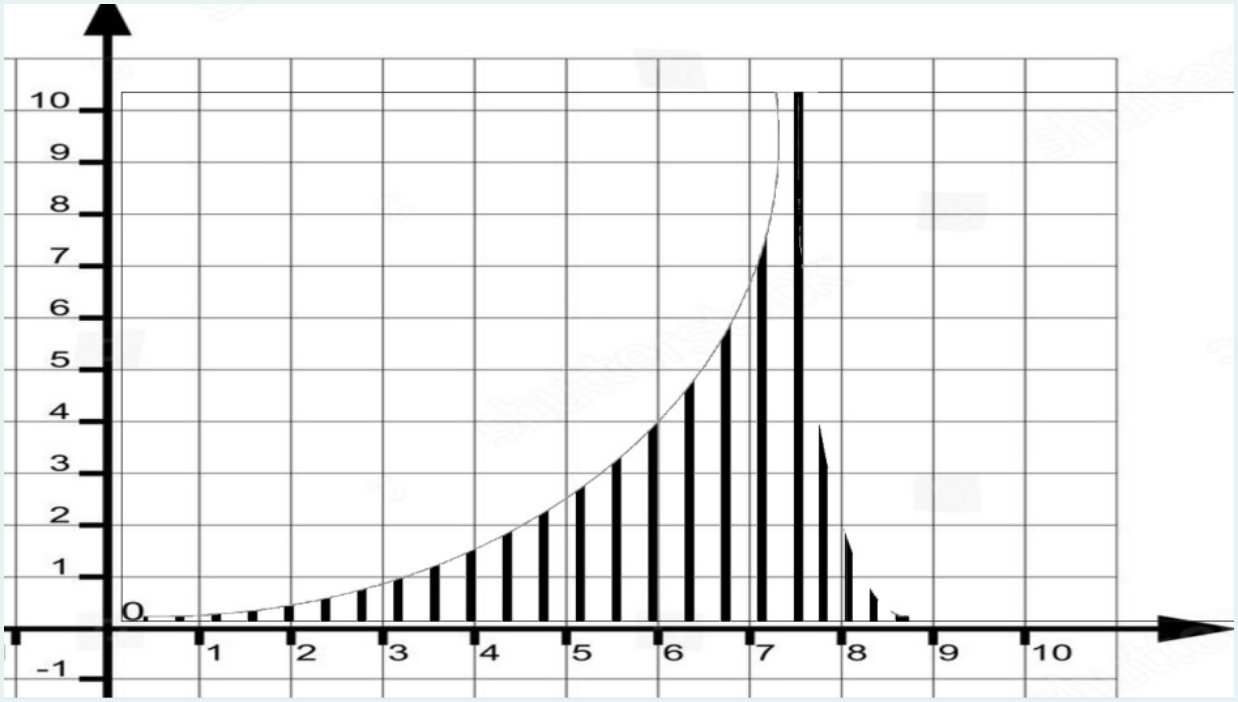


Figura 12: Gráfico que ilustra la variación de la fuerza gravitatoria experimentada por la Tierra durante cada órbita semestral.

Se conserva la ilustración científica original; su pie de figura está traducido a continuación.

La rotación de los planetas alrededor de su eje

Durante muchas generaciones, la rotación de los planetas alrededor de su eje se ha considerado un fenómeno natural. Aunque nuestro estudio no pretendía inicialmente explorar este tema, las características observadas de la gravedad de la estrella en colapso nos obligaron a profundizar en la investigación. Una vez establecido que la Tierra experimenta una influencia gravitatoria creciente de la estrella en colapso, específicamente en el hemisferio alineado con los polos debido a la reflexión de solo la porción ascendente de la estrella, resulta ahora evidente que esta fuerza gravitatoria genera un momento de torsión sobre la Tierra.

El efecto de la gravedad de la estrella en colapso sobre la Tierra

Hemos tratado la influencia gravitatoria de una estrella en colapso situada en otro universo y la hemos descrito como una fuerza uniforme que actúa sobre los polos terrestres y provoca su inclinación. Sin embargo, no hemos caracterizado esta fuerza.

Debemos examinar los procesos que afectan a la Tierra durante su entrada y salida del campo gravitatorio de la estrella en colapso. En este capítulo caracterizaremos estas fuerzas en detalle y analizaremos cómo esta fuerza gravitatoria, además de provocar la inclinación terrestre, induce la rotación alrededor del eje terrestre y crea su órbita alrededor del Sol. Primero debemos revelar las características gravitatorias de la estrella en colapso; después podremos analizar con precisión su efecto sobre los polos terrestres.

Copyright © Yarel A

Características gravitatorias de la estrella en colapso

Como vimos en el capítulo anterior, según el gráfico y la tabla de la inclinación terrestre, la fuerza gravitatoria que la estrella en colapso ejerce sobre la Tierra no es constante. Depende del ángulo de exposición a la fuerza gravitatoria de la estrella en colapso a través de la abertura del agujero negro mientras la Tierra orbita alrededor del Sol. Durante la primera mitad de la órbita terrestre alrededor del Sol, la fuerza gravitatoria actúa sobre el hemisferio norte. Durante la segunda mitad actúa sobre el hemisferio sur. Se supone que la estrella en colapso es esférica, de modo que la fuerza gravitatoria dirigida hacia los polos terrestres debe ser dinámica.

Ilustración y análisis

A continuación se muestra un gráfico que ilustra la variación de la fuerza gravitatoria que experimenta la Tierra durante cada órbita semestral (Figura 12):

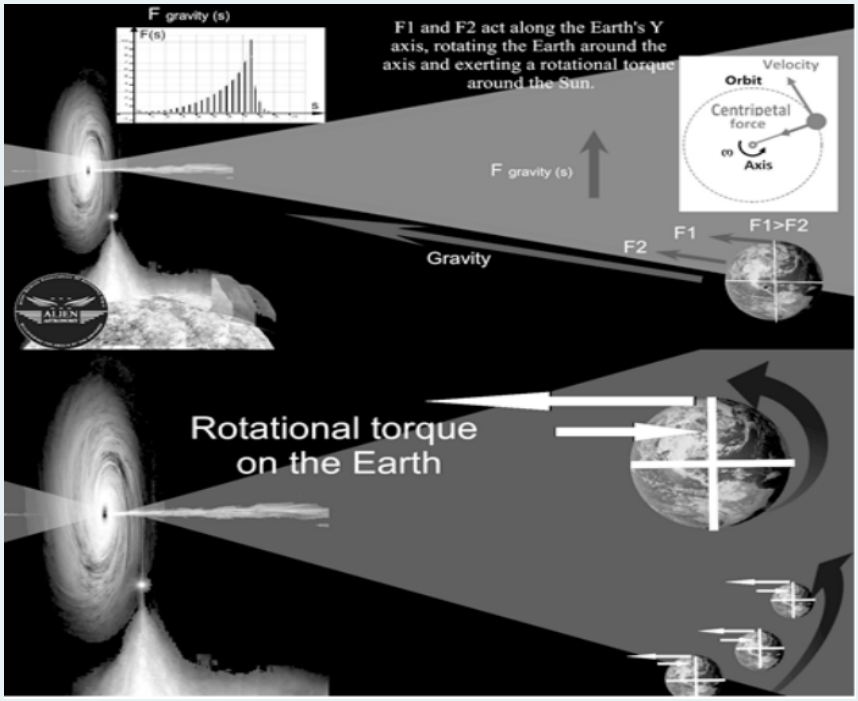


Figura 13: Ilustración de un momento de torsión que actúa sobre la Tierra y ejerce una fuerza que impulsa su rotación sobre su eje y su revolución alrededor del Sol.

Se conserva la ilustración científica original; su pie de figura está traducido a continuación.

Entrada de la Tierra en el campo gravitatorio de la estrella en colapso

Al entrar en el campo gravitatorio de una estrella en colapso, el lado norte de la Tierra experimenta una fuerza de torsión rotatoria que actúa como una hélice o un rotor. La influencia gravitatoria de la estrella en colapso aumenta con el tiempo, y el lado orientado hacia el eje de revolución terrestre alrededor del Sol experimenta un mayor incremento de fuerza. El escenario se repite cuando la Tierra se encuentra en el lado opuesto del Sol. Al entrar el lado sur de la Tierra en el campo gravitatorio de la estrella en colapso, actúa sobre él una fuerza de torsión rotatoria. La fuerza gravitatoria creciente de la estrella afecta más intensamente al lado orientado hacia el eje de revolución terrestre alrededor del Sol. Esta fuerza induce un momento de torsión en la rotación terrestre sobre sí misma. En su punto más cercano al Sol, a la distancia de perihelio de 147.1 millones de km, la Tierra alcanza su velocidad orbital máxima de 30,286 km/s. En cambio, en su punto más alejado, a la distancia de afelio de 152.1 millones de km, la velocidad orbital terrestre disminuye a 29,291 km/s.

Estos datos de medición de la velocidad, que muestran cambios en la velocidad de revolución terrestre alrededor del Sol, materializan nuestra afirmación de que dicha velocidad no es natural y respaldan los principios

Copyright © Yarel A

de la presentación. • **Conclusión:** La fuerza gravitatoria de la estrella en colapso hace girar la Tierra sobre su eje.

Las fuerzas que influyen en la revolución terrestre alrededor del Sol: Durante muchas generaciones, la revolución de los planetas alrededor del Sol se ha considerado un fenómeno natural. El hecho de que, en su punto más cercano al Sol, a la distancia de perihelio de 147.1 millones de km, la Tierra alcance su velocidad orbital máxima de 30,286 km/s, mientras que en su punto más alejado, a la distancia de afelio de 152.1 millones de km, su velocidad orbital disminuya a 29,291 km/s, despertó nuestras sospechas. Aunque nuestro estudio no pretendía inicialmente explorar este tema, las características observadas de la gravedad de la estrella en colapso nos obligaron a profundizar en la investigación.

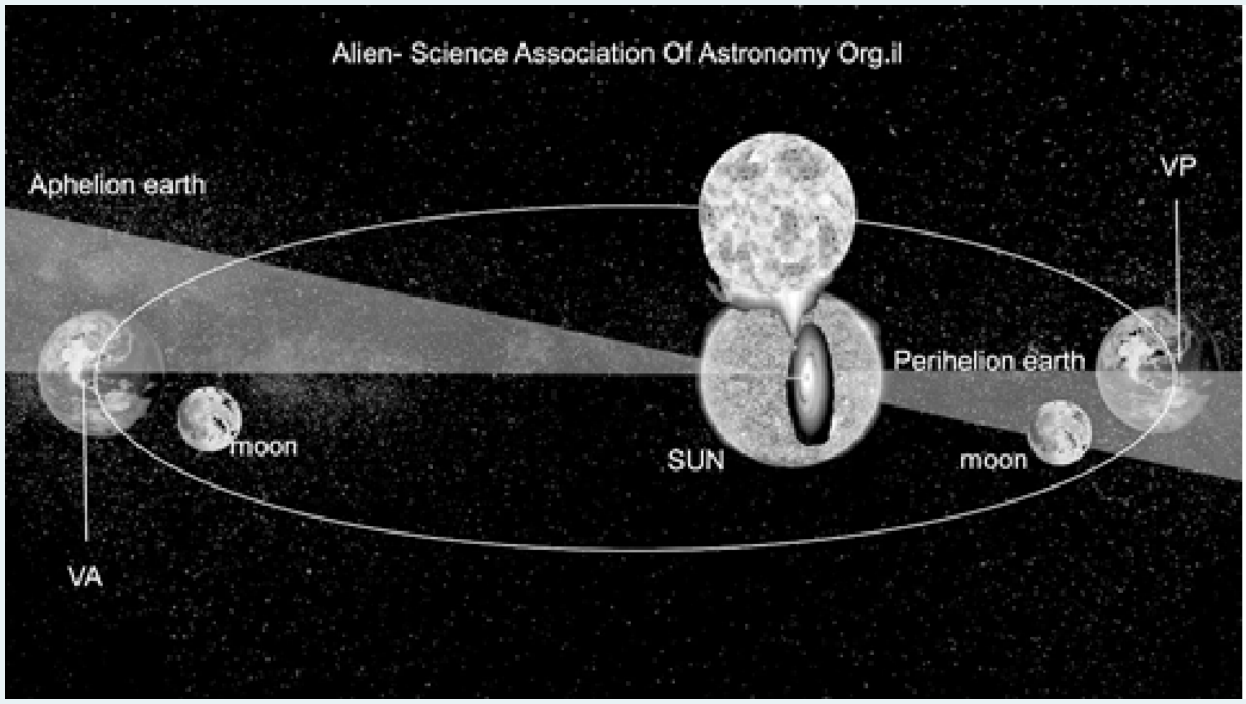


Figura 14: La velocidad orbital terrestre alrededor del Sol aumenta en el perihelio.

Se conserva la ilustración científica original; su pie de figura está traducido a continuación.

Influencia gravitatoria sobre las órbitas planetarias

La fuerza que hace que los planetas giren alrededor del Sol es la misma que hace girar la Tierra sobre su eje y provoca su inclinación. Es la misma fuerza que inicia el flujo de corriente eléctrica en la bobina del electroimán dentro del Sol. Es la fuerza gravitatoria de la estrella que colapsa en otro universo, que atraviesa la abertura del agujero negro en dos direcciones opuestas.

Descripción de las fuerzas que impulsan la revolución de los planetas alrededor del Sol: el escenario propuesto: el momento de torsión que la estrella en colapso ejerce sobre la Tierra aumenta de forma dinámica, lo que provoca la aceleración de la revolución alrededor del Sol. Cuando la gravedad de la estrella en colapso actúa sobre el polo norte terrestre, una fuerza de torsión hace que la Tierra gire sobre su eje. Este mismo momento de torsión impulsa la Tierra en la dirección de su órbita alrededor del Sol. Cuando la fuerza gravitatoria de la estrella en colapso actúa sobre el polo sur, un momento de torsión también hace girar la Tierra sobre su eje. Sin embargo, el mismo momento de torsión que aceleraba la revolución terrestre al actuar sobre el polo norte se comporta de forma diferente cuando actúa sobre el polo sur. En su punto más cercano al Sol, a la distancia de perihelio de 147.1 millones de km, la Tierra alcanza su velocidad orbital máxima de 30.286 km/s. En su punto más alejado, a la distancia de afelio de 152.1 millones de km, la velocidad orbital terrestre disminuye a 29.291 km/s, lo que demuestra otro fenómeno. Para explicar aquí el nuevo fenómeno, es nece-

Copyright © Yarel A

sario explicar primero la primera ley de Kepler sobre el movimiento elíptico de todos los planetas, que también resulta ser un fenómeno no natural. **Movimiento elíptico de los planetas alrededor del Sol:** Parece existir una fuerza impulsora detrás del movimiento elíptico de los planetas.

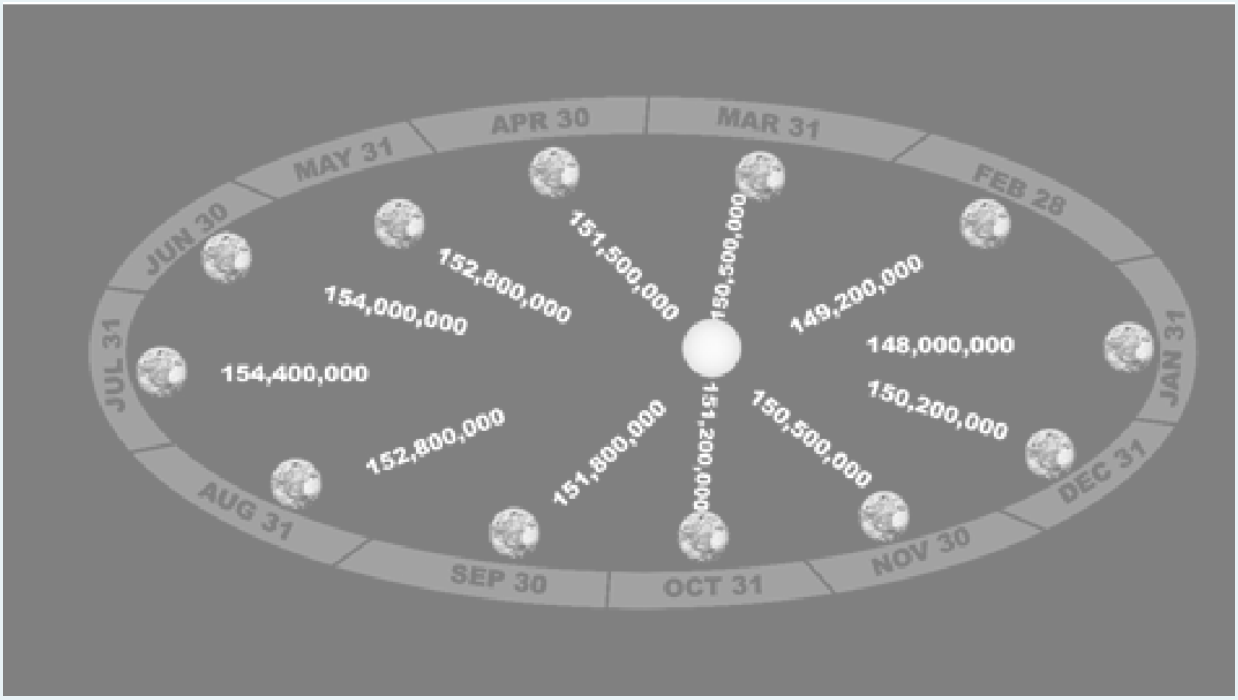


Figura 15: Diagrama que muestra las distintas distancias de la Tierra al Sol.

Se conserva la ilustración científica original; su pie de figura está traducido a continuación.

• Primera ley de Kepler • Primera ley de Kepler: la órbita de cada planeta alrededor del Sol es una elipse. El centro del Sol se encuentra siempre en uno de los focos de la elipse orbital. El Sol está en un foco. El planeta sigue la elipse en su órbita, lo que significa que la distancia del planeta al Sol cambia constantemente mientras el planeta recorre su órbita (Figura 15). • No ponemos en duda la conclusión de Kepler de que los planetas se mueven en órbitas elípticas. Cuestionamos la afirmación de que «La razón de ello se debe a la naturaleza de la gravedad y del movimiento. Cuando un planeta está más cerca del Sol, se mueve más rápido porque la atracción gravitatoria solar es mayor. En cambio, cuando está más lejos, se mueve más despacio porque la atracción gravitatoria es menor. Esta variación de velocidad mientras el planeta recorre su órbita hace que esta sea una elipse en lugar de un círculo perfecto». Se sostiene que la razón es diferente.

Influencia electromagnética sobre la revolución de los planetas alrededor del Sol

Según nuestra investigación, la presencia de un electroimán dentro del Sol ejerce una fuerza electromagnética desde ambos lados del agujero negro y produce fenómenos magnéticos. Esta fuerza electromagnética genera una polaridad positiva de forma regular. La fuerza magnética influye en los polos magnéticos terrestres y contribuye a las órbitas elípticas de los planetas. Cuando el polo norte terrestre, de polaridad positiva, se inclina hacia el Sol, que también tiene polaridad positiva, la repulsión magnética hace que la Tierra se aleje del Sol. En cambio, cuando el polo sur terrestre, de polaridad negativa, se inclina hacia la polaridad positiva del Sol, la atracción magnética hace que la Tierra se acerque al Sol. Esta interacción explica el movimiento elíptico de la Tierra y de los demás planetas alrededor del Sol (Figura 16).

Copyright © Yarel A

• **Conclusión** El movimiento elíptico de los planetas se debe a la presencia de un electroimán con polaridad magnética positiva permanente dentro del Sol, combinada con el magnetismo de los planetas durante su inclinación hacia el Sol, que conjuntamente provocan el movimiento elíptico

Retorno a la descripción de las fuerzas que impulsan la revolución de los planetas alrededor del Sol: Después de comprender que el movimiento elíptico de los planetas se debe a la presencia de un electroimán con polaridad magnética positiva permanente dentro del Sol, combinada con el magnetismo de los planetas durante su inclinación hacia el Sol, que conjuntamente provocan el movimiento elíptico, podemos continuar. Nos centraremos principalmente en el escenario en que el polo norte magnético terrestre, que es el polo norte geográfico, se inclina hacia el Sol. Esta inclinación, con carga magnética positiva, crea una fuerza de repulsión entre ambos.

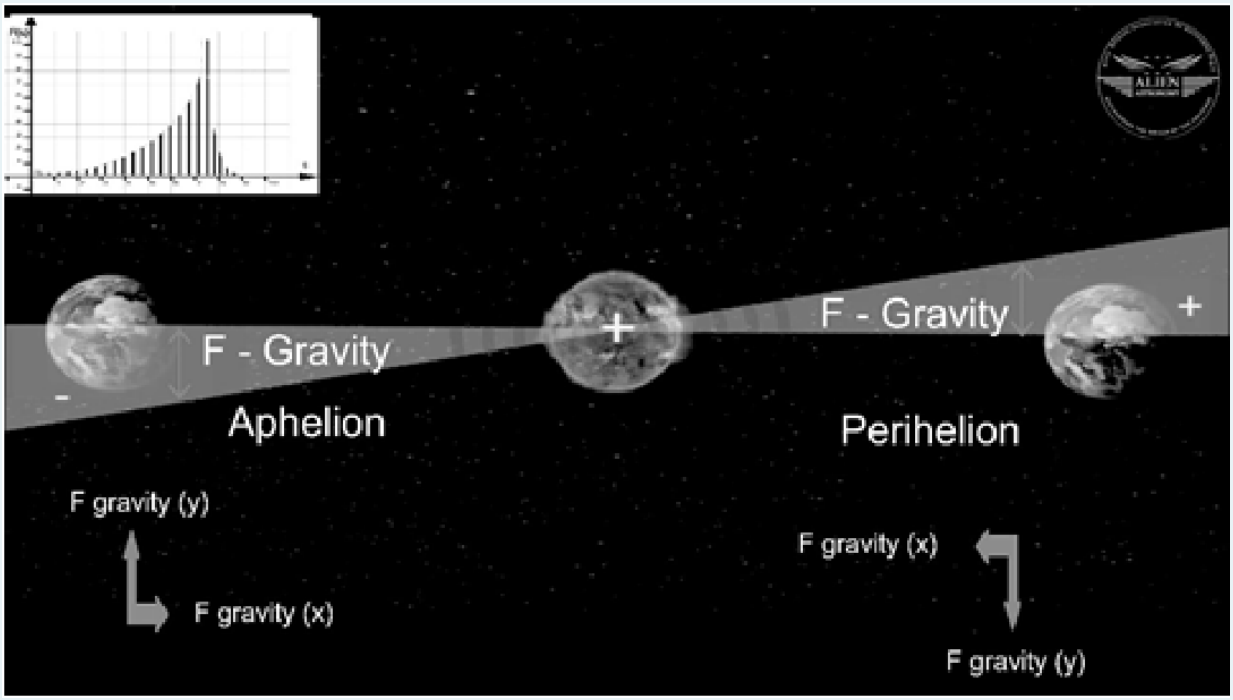


Figura 16: Diagrama de las fuerzas que actúan sobre la Tierra.

Se conserva la ilustración científica original; su pie de figura está traducido a continuación.

Descripción de las fuerzas que impulsan la revolución de los planetas alrededor del Sol: Como ya se ha indicado, cuando la fuerza gravitatoria de la estrella en colapso actúa sobre el polo norte terrestre, genera un momento de torsión que hace girar la Tierra sobre su eje, inclina la Tierra e induce un momento de torsión de revolución alrededor del Sol. Lo que contribuye significativamente a esta fuerza de torsión gravitatoria y demuestra además su existencia es la inclinación de la Tierra, con su polo magnético positivo, orientado hacia la salida del agujero negro del Sol, que también presenta polaridad magnética positiva. En esta configuración, la fuerza gravitatoria de la estrella en colapso actúa sobre el cuadrante del polo norte terrestre, lo atrae y lo hace girar, mientras que las fuerzas magnéticas positivas de la Tierra y del electroimán se repelen entre sí. Esta interacción da lugar a la órbita de revolución terrestre alrededor del Sol y acelera su velocidad orbital. En este punto, la fuerza gravitatoria de la estrella en colapso actúa sobre el cuadrante del polo norte terrestre, lo atrae y lo hace girar, mientras que la fuerza magnética positiva terrestre y la fuerza magnética positiva del electroimán se repelen a lo largo del eje y mantienen una órbita de revolución alrededor del Sol. Así, una fuerza atractiva, la fuerza gravitatoria de la estrella en colapso, y una fuerza repulsiva, la interacción magnética entre la Tierra y el Sol, provocan conjuntamente la aceleración de la rotación terrestre sobre su eje y de su órbita alrededor del Sol. En el lado opuesto del Sol, la situación es diferente. Cuando la gravedad de la estrella

Copyright © Yarel A

en colapso actúa sobre una cuarta parte del polo sur terrestre, una fuerza de torsión de la gravedad de la estrella en colapso hace girar la Tierra sobre su eje y provoca su inclinación. Esta fuerza permanece inalterada. Sin embargo, debido a que el polo sur terrestre, con polaridad magnética negativa, se inclina hacia el Sol, que presenta polaridad magnética positiva, aparece una fuerza atractiva adicional. La fuerza gravitatoria de la estrella en colapso atrae el polo sur, mientras este se inclina hacia el Sol, y el electroimán también atrae la Tierra por su polo sur. En este caso no existe en absoluto un momento de torsión de revolución. Solo existe la fuerza de torsión normal debida a la gravedad de la estrella en colapso, sin ninguna ayuda del electroimán situado dentro del Sol.

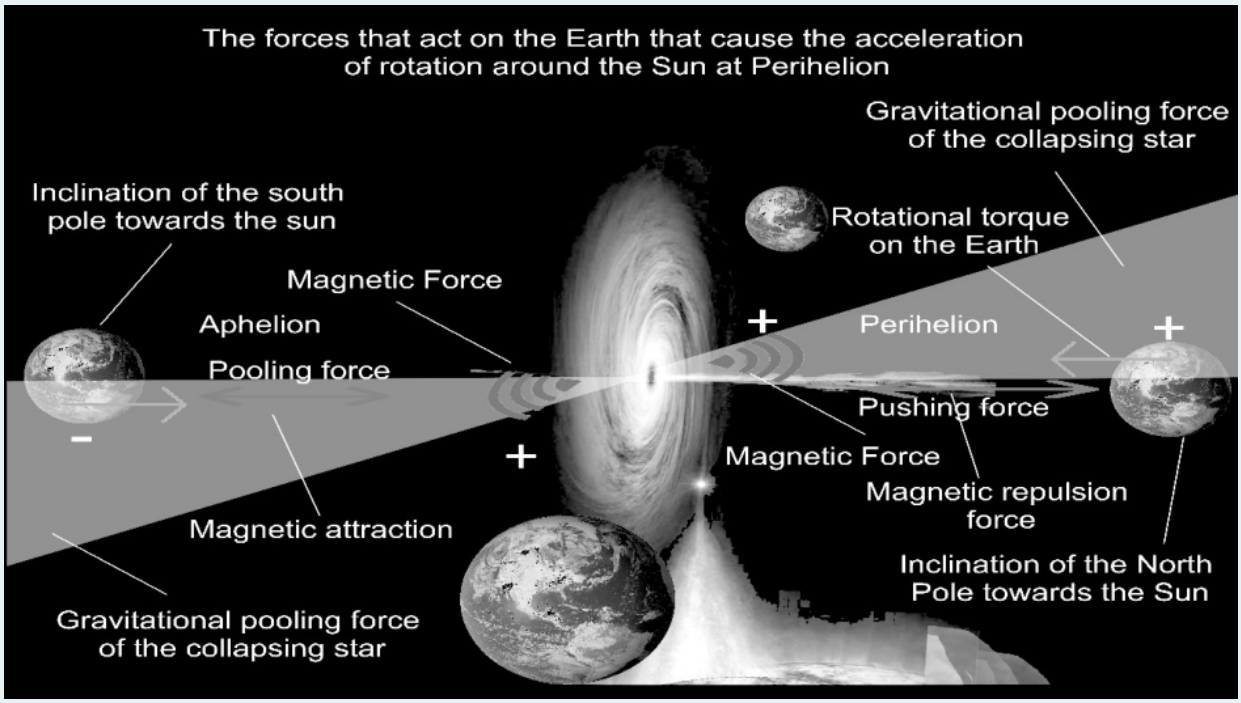


Figura 15: Caracterización de las fuerzas verticales a lo largo del eje Y de la gravedad de una estrella en colapso, que estabilizan el movimiento planetario en una órbita semejante a un disco.

Se conserva la ilustración científica original; su pie de figura está traducido a continuación.

• **Conclusión:** La revolución de los planetas alrededor del Sol está impulsada por una combinación de fuerzas, principalmente el magnetismo y la gravedad. Diversas fuerzas interactúan: algunas atraen un lado de la Tierra mientras otras empujan. La fuerza gravitatoria de la estrella en colapso, junto con sus características dinámicas, contribuye significativamente a la revolución terrestre alrededor del Sol. Sin embargo, la fuerza electromagnética en el perihelio contribuye de manera importante al momento de torsión de revolución terrestre alrededor del Sol. Aunque muchas conclusiones carecen de resultados empíricos directos, se basan en etapas establecidas previamente, algunas de las cuales han sido demostradas. Estas conclusiones están fundamentadas en pruebas anteriores (Figura 15).

La fuerza gravitatoria de la estrella en colapso, que también actúa en el eje Y, es una fuerza central en la estabilización del movimiento de los planetas en una órbita semejante a un disco.

La fuerza magnética del electroimán interno del Sol estabiliza el movimiento circunferencial terrestre debido a la naturaleza metálica de la Tierra: La fuerza magnética es una fuerza de atracción que aparece entre dos partículas cargadas u objetos que contienen hierro. Puede ser atractiva o repulsiva en función de la carga iónica del objeto. Los objetos con la misma carga eléctrica se repelen, mientras que las cargas opuestas se atraen.

La estructura metálica terrestre que estabiliza su órbita alrededor del Sol en una formación semejante a un disco: Según los conocimientos científicos ac-

Copyright © Yarel A

tuales, la composición terrestre es aproximadamente un 50% de hierro, con alrededor de un 30% de hierro y un 15% de magnesio. El aluminio también está presente en cantidades importantes, mientras que otros metales existen en cantidades traza. Dada esta composición y el hecho de que los metales son atraídos hacia el centro de una fuerza magnética, puede inferirse que la fuerza magnética que actúa sobre la Tierra interviene en la estabilización de su órbita alrededor del centro electromagnético solar.

Conclusiones: El capítulo «Presentación de la máquina interuniversal» explora la intrincada dinámica de las fuerzas que rigen el movimiento planetario y se centra específicamente en la influencia gravitatoria de una estrella en colapso de otro universo. Las conclusiones de este capítulo son las siguientes**: Inclinación de la Tierra:** La inclinación terrestre no es un fenómeno natural, sino que está influida por una fuerza gravitatoria externa procedente de una estrella en colapso situada en otro universo. Las pruebas, incluidas las variaciones estacionales de la gravedad terrestre y el carácter dinámico de su inclinación, respaldan la hipótesis de que esta fuerza externa modula y estabiliza la inclinación terrestre. **Rotación de los planetas alrededor de sus ejes:** La fuerza gravitatoria de la estrella en colapso no solo influye en la inclinación terrestre, sino que también genera un momento de torsión que hace que la Tierra gire sobre su eje. Este momento de torsión es resultado directo de la influencia gravitatoria variable mientras la Tierra se desplaza por diferentes partes de su órbita alrededor del Sol. **Órbitas planetarias alrededor del Sol:** Las órbitas elípticas de los planetas alrededor del Sol están influidas por una combinación de fuerzas gravitatorias y electromagnéticas. La atracción gravitatoria de la estrella en colapso y las propiedades electromagnéticas solares interactúan para crear y mantener el movimiento elíptico de los planetas, lo que cuestiona las explicaciones tradicionales basadas únicamente en fuerzas gravitatorias. **Estabilización de las órbitas planetarias:** La estabilización de las órbitas planetarias en una formación semejante a un disco alrededor del Sol se atribuye a tres fuerzas clave: la influencia gravitatoria de la estrella en colapso, la fuerza electromagnética del magnetismo interno solar y las propiedades magnéticas de los propios planetas. Estas fuerzas garantizan conjuntamente la estabilidad y la regularidad de las órbitas planetarias. En conjunto, este capítulo fundamenta el papel de una fuerza gravitatoria externa e interuniversal en la configuración y el mantenimiento de la dinámica de nuestro sistema solar, y cuestiona las interpretaciones convencionales del movimiento planetario.

A continuación se presenta una tabla (Tabla 3) que compara los conceptos antiguos y los nuevos.

Conclusiones: La investigación presentada a lo largo de los capítulos explora conceptos revolucionarios en astrofísica y ofrece conocimientos transformadores sobre la dinámica del sistema solar y del universo en su conjunto. La introducción de la «máquina interuniversal» cuestiona los principios astrofísicos establecidos al proponer un mecanismo autónomo que rige la actividad solar y las complejas interacciones dentro de nuestro sistema solar. Este concepto sienta las bases para comprender el equilibrio y la estabilidad mantenidos por este mecanismo, y destaca la necesidad de reexaminar los modelos cósmicos tradicionales.

El examen de la formación y de la dinámica energética del Sol, basado en la hipótesis del polvo estelar que emerge de un agujero negro, presenta una alternativa convincente a las teorías convencionales. Las pruebas aportadas respaldan la idea de que la formación del Sol y la generación de su inmensa potencia están estrechamente vinculadas a la eyección de material desde una estrella en colapso situada en otro universo. Esta perspectiva novedosa sobre las fuentes de energía solar y los mecanismos que impulsan los fenómenos solares exige reevaluar los conceptos astrofísicos existentes.

Además, la exploración de las fuerzas que gobiernan el movimiento planetario, en particular la influencia de una estrella en colapso de otro universo, revela los factores gravitatorios externos que determinan la inclinación terrestre, la rotación planetaria y las órbitas elípticas alrededor del Sol. Este análisis pone de relieve la interacción de las fuerzas gravitatorias y electromagnéticas en la estabilización de las órbitas planetarias, y cuestiona las explicaciones tradicionales que se basan únicamente en la gravedad.

Copyright © Yarel A

Tabla 3: Comparación de conceptos antiguos y nuevos.

Fenómeno	Un concepto antiguo	Prueba de un concepto antiguo	Un concepto nuevo	Prueba de un concepto nuevo	¿En qué mejora el concepto nuevo?
1. Presencia de la masa del Sol	Polvo estelar originado en el Big Bang	Un amplio conjunto de pruebas empíricas.	La masa del Sol procede de otro universo como polvo estelar eyectado desde un agujero negro en dos direcciones opuestas.	El Webb de la NASA capta un reloj de arena ardiente mientras se forma una nueva estrella.	Sugiere un origen interuniversal de la masa solar y ofrece una nueva perspectiva sobre los procesos de formación estelar.
2. Fuente de energía solar	Fusión nuclear	Pruebas de la existencia de fusión nuclear.	La fuente de calor solar es un electroimán natural dentro del Sol, creado mediante un proceso interuniversal.	Un electroimán dentro del Sol provoca fenómenos térmicos solares, incluida la fusión nuclear.	Introduce el concepto de un electroimán interuniversal como fuente de energía solar y amplía la fusión nuclear tradicional.
3. Temperatura de la corona	El principio de la dinamo solar genera las estructuras de bucles coronales.	Observaciones que confirman la existencia de bucles coronales.	La radiación electromagnética dentro del Sol crea microondas que provocan el calor de la corona.	Una cadena de acontecimientos conduce a esta conclusión, aunque no existen pruebas directas.	Propone una explicación novedosa del calentamiento coronal y sugiere radiación de microondas procedente de un electroimán interno.
4. Rotación del Sol alrededor de su eje	Un movimiento que comenzó cuando el Sol se encontraba en estado nebuloso.	Ninguna	Un electroimán dentro del Sol atrae una masa saturada de metal y hace girar al Sol	Una cadena de acontecimientos conduce a esta conclusión, aunque no existen pruebas directas.	Introduce una influencia magnética como impulsora de la rotación axial solar.
5. Rotación del ecuador solar más rápida que la de los polos	Todavía en investigación, sin resultados por ahora.	Todavía en investigación.	El electroimán dentro del Sol atrae una masa saturada de metal y hace que el ecuador solar gire más rápido que los polos.	Una cadena de acontecimientos conduce a esta conclusión, aunque no existen pruebas directas.	Sugiere un mecanismo electromagnético de rotación diferencial dentro del Sol.
6. Polaridad magnética del Sol	Dinamo solar	Las mediciones confirman la existencia de la polaridad magnética solar.	Un electroimán dentro del Sol provoca propiedades magnéticas que dan lugar a la polaridad magnética solar.	Las mediciones confirman la existencia de la polaridad magnética solar.	Proporciona una explicación alternativa de la polaridad magnética solar que incluye el electromagnetismo interno.
7. Magnetismo del Sol	El movimiento de partículas cargadas crea campos magnéticos.	Las mediciones confirman la existencia de un aumento del magnetismo procedente del Sol.	Una combinación de componentes: el electroimán transmite sus propiedades por todo el Sol e influye en el magnetismo.	Las mediciones confirman la existencia de un aumento del magnetismo procedente del Sol.	Ofrece una visión integral del magnetismo solar que incorpora fuerzas interuniversales y electromagnetismo interno.
8. Inversión del campo magnético solar	Los científicos no lo comprenden por completo.	Las mediciones confirman la inversión de la polaridad solar.	Las vibraciones de los discos de acreción de un agujero negro provocan el cambio de la polaridad solar cada 11 años.	Una cadena de acontecimientos sugiere esta posibilidad, aunque todavía no existe una demostración directa.	Propone una causa interuniversal de la inversión del campo magnético solar vinculada a la dinámica de los agujeros negros.

Copyright © Yarel A

Fenómeno	Un concepto antiguo	Prueba de un concepto antiguo	Un concepto nuevo	Prueba de un concepto nuevo	¿En qué mejora el concepto nuevo?
9. Inclinación de los planetas	Definida como una inclinación natural.	Ninguna	Las fuerzas gravitatorias dinámicas de una estrella en colapso provocan un aumento constante de la gravedad en los polos terrestres, lo que produce una inclinación.	1. Dinámica de la inclinación terrestre. 2. Detención de la inclinación terrestre durante 4 días, dos veces al año. 3. Cambios estacionales de la gravedad estimados a partir de datos de GRACE.	Proporciona una explicación interuniversal dinámica de la inclinación planetaria y cuestiona la noción tradicional de inclinación natural.
10. Inclinación dinámica de la Tierra	Se ignora el fenómeno.	Las mediciones y los cálculos confirman la inclinación dinámica terrestre.	Las fuerzas gravitatorias de una estrella en colapso reflejadas a través de un agujero negro provocan el aumento de la inclinación terrestre.	Las mediciones y los cálculos confirman la inclinación dinámica terrestre.	Sugiere una influencia gravitatoria interuniversal sobre la inclinación terrestre.
11. Estabilización de la inclinación planetaria	La estabilización se considera natural.	Ninguna	Las fuerzas gravitatorias de una estrella en colapso también estabilizan la inclinación terrestre.	Las pruebas empíricas lo respaldan.	Introduce el concepto de fuerzas interuniversales que intervienen en la estabilización de la inclinación planetaria.
12. Rotación de los planetas alrededor de su eje	Un movimiento que comenzó cuando el sistema solar se encontraba en estado nebuloso.	Ninguna	La fuerza gravitatoria de una estrella en colapso, combinada con el electromagnetismo solar y la polaridad magnética terrestre, hace girar a los planetas.	Pruebas empíricas, incluidos los resultados dinámicos de los cambios estacionales de la gravedad terrestre medidos mediante los datos de GRACE.	Proporciona una explicación integral de la rotación planetaria que incluye múltiples fuerzas, entre ellas la dinámica interuniversal.
13. Revolución de los planetas alrededor del Sol	Un movimiento que comenzó cuando el sistema solar se encontraba en estado nebuloso.	Ninguna	La fuerza gravitatoria de una estrella en colapso, el electromagnetismo solar, la polaridad magnética planetaria y la estructura metálica provocan las órbitas planetarias.	Pruebas empíricas, incluidos los resultados dinámicos de los cambios estacionales de la gravedad terrestre medidos mediante los datos de GRACE.	Sugiere un origen multifacético de las órbitas planetarias que incluye fuerzas universales e interuniversales.
14. Órbita planetaria semejante a un disco alrededor del Sol	Un movimiento que comenzó cuando el sistema solar se encontraba en estado nebuloso.	Evaluaciones del material nebular que colapsa y se aplana en un disco.	Las fuerzas gravitatorias de una estrella en colapso, reflejadas a través de un agujero negro, estabilizan las órbitas planetarias semejantes a un disco.	Las pruebas empíricas lo respaldan.	Propone un mecanismo interuniversal que estabiliza las órbitas planetarias semejantes a un disco.
15. Estabilización de órbitas semejantes a un disco	Desconocida.	Ninguna	Las fuerzas gravitatorias de una estrella en colapso, reflejadas a través de un agujero negro, estabilizan las órbitas planetarias semejantes a un disco.	Las pruebas empíricas lo respaldan.	Introduce una fuerza externa como responsable de la estabilidad de las órbitas planetarias, más allá de los modelos gravitatorios tradicionales.

Copyright © Yarel A

Fenómeno	Un concepto antiguo	Prueba de un concepto antiguo	Un concepto nuevo	Prueba de un concepto nuevo	¿En qué mejora el concepto nuevo?
16. Origen del universo	El Big Bang	Un amplio conjunto de pruebas empíricas.	El universo se originó a partir del colapso de una estrella en otro universo.	Las pruebas empíricas lo respaldan.	Cuestiona la teoría del Big Bang con un origen alternativo basado en el colapso estelar.
17. Interpretación de la primera ley de Kepler	El movimiento fundamental de los objetos alrededor del Sol es una elipse natural.	Es poco probable que las órbitas planetarias sean perfectamente circulares debido a la presencia de otros planetas.	Las fuerzas electromagnéticas dentro del Sol, combinadas con la polaridad planetaria durante su inclinación, crean órbitas elípticas.	Las pruebas empíricas lo respaldan.	Proporciona una interpretación matizada de la ley de Kepler que incorpora influencias electromagnéticas sobre el movimiento planetario.
18. Gravedad inmensa de un agujero negro	Los agujeros negros contienen una masa enorme en un volumen diminuto.	Existen descripciones, pero la fuente de la gravedad sigue siendo desconocida.	La enorme fuerza gravitatoria de los agujeros negros se debe a la existencia de un electroimán dentro del Sol, al otro lado del agujero negro.	Las pruebas empíricas lo respaldan.	Sugiere una fuente novedosa de la inmensa gravedad de los agujeros negros vinculada al electromagnetismo solar.

Demostración por contradicción: modelo matemático para la demostración por contradicción En lógica, la demostración por contradicción es una forma de demostración que establece la verdad o la validez de una proposición mostrando que suponerla falsa conduce a una contradicción. Aunque se utiliza con bastante libertad en las demostraciones matemáticas, no todas las escuelas de pensamiento matemático aceptan este tipo de demostración no constructiva como universalmente válida. En un sentido más amplio, una demostración por contradicción es cualquier forma de argumento que establece un enunciado llegando a una contradicción, incluso cuando el supuesto inicial no es la negación del enunciado que se pretende demostrar. En este sentido general, también se conoce como demostración indirecta, demostración por suposición de lo contrario y reducción al absurdo. Para demostrar por contradicción que la inclinación terrestre no es natural, podemos seguir la estructura estándar de una demostración por contradicción. Supondremos que la inclinación terrestre es natural y mostraremos que este supuesto conduce a una contradicción basada en la información dada y en las leyes físicas. La contradicción demostrará que la inclinación no es, en efecto, natural, y podremos después explorar la explicación alternativa que implica la fuerza gravitatoria de una estrella en colapso. Para hacer más riguroso el argumento, incorporemos un modelo matemático que describa el movimiento natural de la inclinación terrestre y cómo el comportamiento dinámico observado contradice ese modelo. A continuación utilizaremos este modelo para reforzar la demostración por contradicción.

Proposición: P: La inclinación terrestre no es natural.
Supuesto (negación de P): Supongamos que ¬P: La inclinación terrestre es natural.

Modelo matemático del movimiento natural
Según la primera ley de Newton, un movimiento natural debería seguir una trayectoria uniforme a menos que actúe sobre él una fuerza externa. Si la inclinación terrestre fuera natural, podría modelizarse mediante una velocidad angular constante. Definamos:
• $\theta(t)$: El ángulo de inclinación terrestre en el instante t.

• ω: La velocidad angular constante de la inclinación.

• θ_0: El ángulo inicial de inclinación en $t = 0$.

En un estado natural, el ángulo de inclinación $\theta(t)$ debería evolucionar según la ecuación:

$$\theta(t) = \theta_0 + \omega t$$

Esta ecuación implica que la inclinación aumenta o disminuye linealmente con el tiempo si el movimiento es natural, sin aceleración ni desaceleración.

Dinámica observada de la inclinación terrestre Sin embargo, los datos observacionales muestran que la inclinación terrestre se comporta de manera dinámica:

Copyright © Yarel A

Aceleración/desaceleración: La inclinación no aumenta ni disminuye de manera uniforme; por el contrario, acelera y desacelera.
Detención periódica: El ángulo de inclinación se detiene dos veces al año, lo que significa que dθ/dt en ciertos puntos, algo que no concuerda con una ω constante.

Expresemos esto matemáticamente:
El ángulo de inclinación observado θ_obs(t) podría modelizarse mediante una función más compleja, como:

$$\theta_{obs}(t) = \theta_0 + \omega(t)t + A\sin(\omega' t + \phi)$$

Donde:
• ω(t) es una velocidad angular dependiente del tiempo, no constante.
• A y ω′ son parámetros de amplitud y frecuencia que representan la variación periódica.
• θφ es la constante de fase.
Esta función introduce un término sinusoidal que representa la aceleración, la desaceleración y la detención observadas en la inclinación terrestre.

Deducción de la contradicción

El supuesto ¬P implica que la inclinación natural debería seguir el modelo lineal θ(t) = θ₀ + ωt. Sin embargo, los datos observacionales sugieren que la inclinación sigue un modelo más complejo y no lineal que incluye variación periódica:

$$\theta_{obs}(t) \neq \theta(t)$$

La discrepancia entre el comportamiento lineal esperado de una inclinación natural y el comportamiento no lineal y dinámico observado contradice el supuesto de que la inclinación sea natural.

Conclusión

Dado que suponer que la inclinación terrestre es natural conduce a una contradicción con el modelo matemático del movimiento natural, concluimos que ¬P es falso. Por tanto, P: La inclinación terrestre no es natural, debe ser verdadero.

Explicación alternativa (fuerza gravitatoria de una estrella en colapso)

Dado que la inclinación terrestre no es natural, el comportamiento dinámico observado podría explicarse mediante una fuerza externa, como la influencia gravitatoria de una estrella en colapso. Esta fuerza podría introducir la variación periódica observada, descrita por el componente sinusoidal del modelo.

Así, la contradicción no solo demuestra que la inclinación terrestre no es natural, sino que también respalda la hipótesis de que una fuerza gravitatoria externa, como la procedente de una estrella en colapso, es responsable del carácter dinámico de la inclinación terrestre.

Referencias

1. Einstein A (1915) The Theory of General Relativity.

2. Penrose R (2010) Cycles of Time: An Extraordinary New View of the Universe. Bodley Head.

3. NASA GRACE Mission Team. (2017) Seasonal gravity changes and dynamic tilt variations of Earth. Geophysical Research Letters 44(5): 12-19.

4. Faraday M (1831) Electromagnetic induction and the creation of electric fields. Proceedings of the Royal Institution 4(2): 115-129.

5. NASA (2022) Fiery hourglass as new star forms in L1527. NASA James Webb Space Telescope Observations.

6. Bethe HA (1939) Energy Production in Stars. Physical Review 55(5): 434-456.

7. Faraday M (1831) Electromagnetic Induction and its Applications. Magnetic Effects of Electric Current.

8. Priest E, Forbes T (2000) Magnetic Reconnection: MHD Theory and Applications. Cambridge University Press.

9. Hawking S (1974) Black holes and the emergence of stellar systems. Nature 248: 30-34.

10. Hawking S (1974) Black Hole Explosions. Nature 248: 30-31.

11. Zou Z, Li H, Luo Z, Xing L (2021) Seasonal gravity changes estimated from GRACE data. Geodesy and Geodynamics 1(1): 57-63.

12. Kepler J (1609) Astronomia Nova. Electromagnetic influences and the elliptical orbit of planets. Prague Press.

Copyright © Yarel A